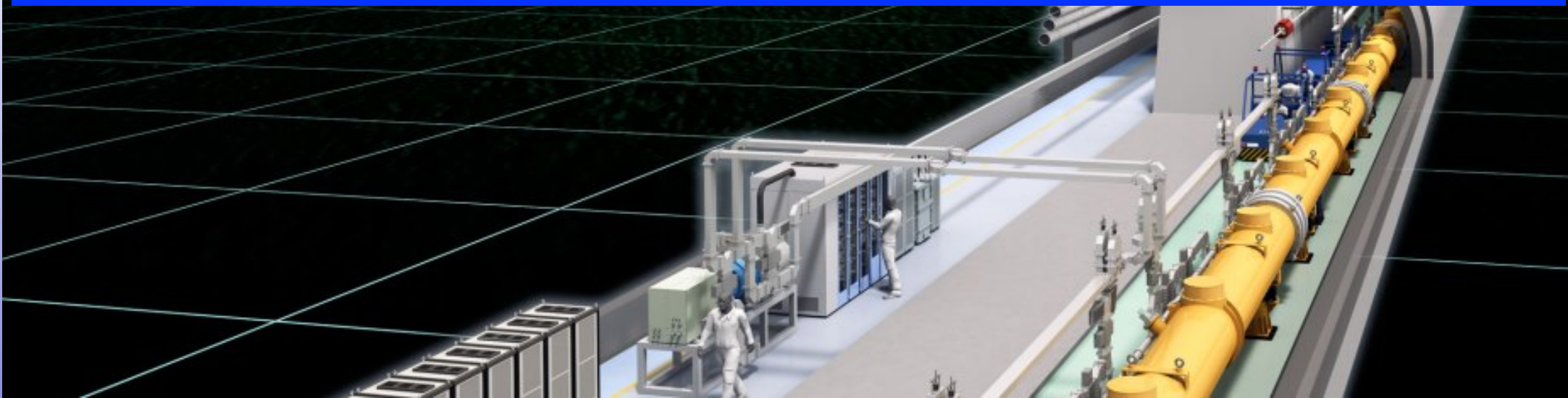




リニアコライダーにおけるヒッグス研究



2013/05/25 名古屋大学

新学術領域「先端加速器LHCが切り拓くテラスケールの素粒子物理学」

九州大学 先端素粒子物理研究センター

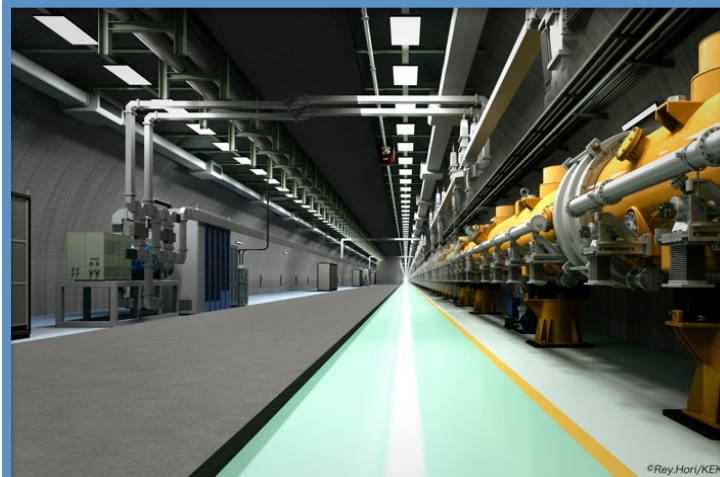
吉岡 瑞樹

国際リニアコライダー計画

International Linear Collider (ILC)

電子・陽電子を超高速で衝突させ、
ビックバン直後の宇宙を再現！

陽電子



全長31km、地下トンネル内に建設される
最先端装置群



2013/May/25

©Rey.Hori/KEK

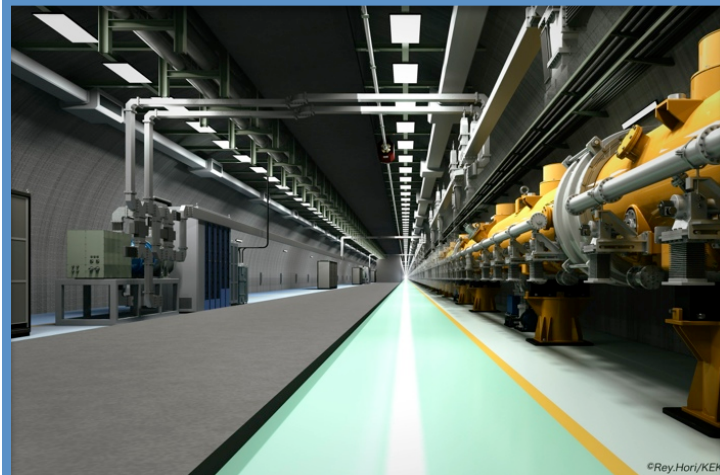
先端加速器LHCが切り拓くテラス
ケールの素粒子物理学

国際リニアコライダー計画

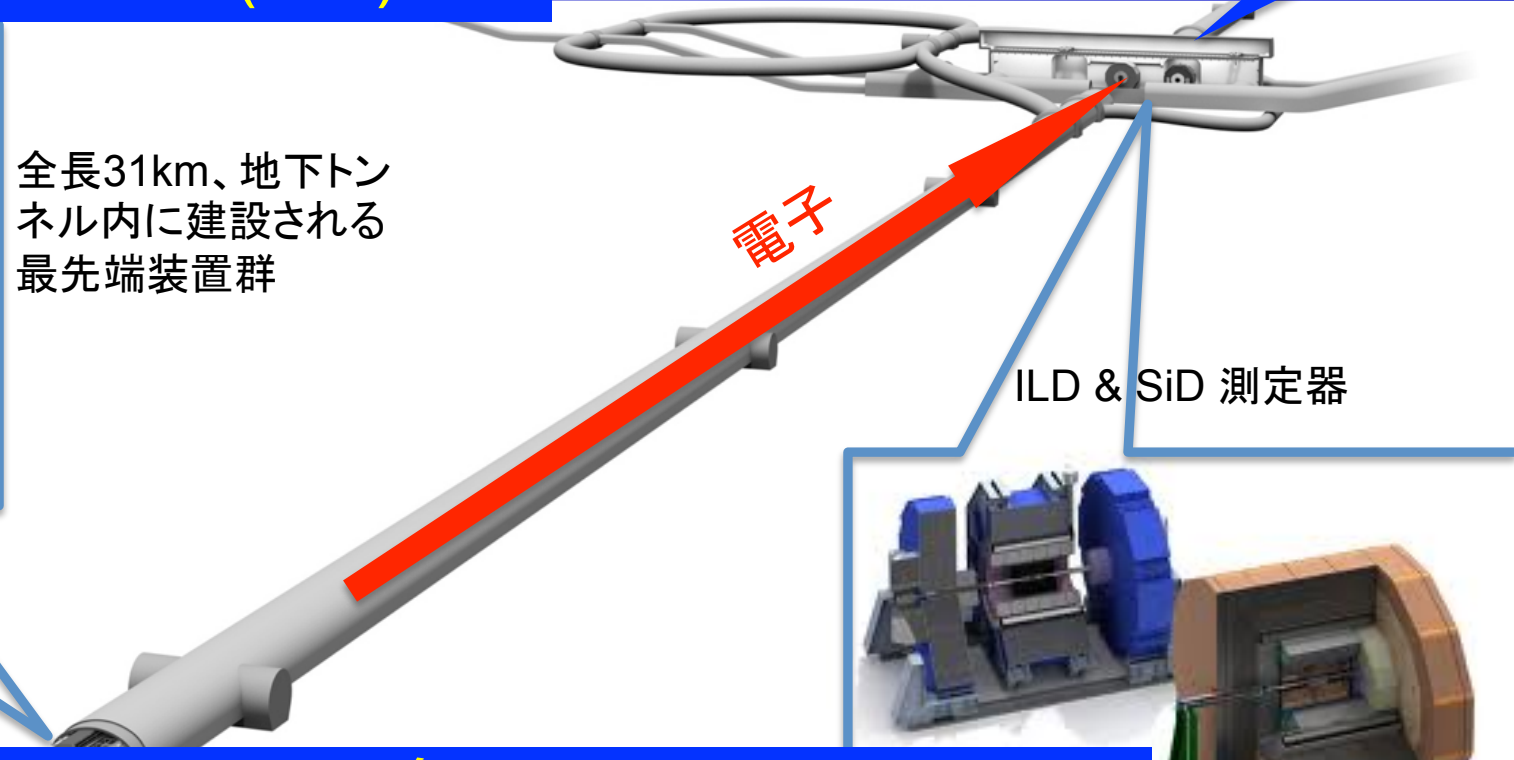
International Linear Collider (ILC)

電子・陽電子を超高速で衝突させ、
ビックバン直後の宇宙を再現！

陽電子



全長31km、地下トンネル内に建設される
最先端装置群



- 第1期: 250-500 GeV (全長31 km)
 - 250 GeV: ヒッグス工場
 - 350 GeV: トップ工場
 - 500 GeV: ヒッグス自己結合、トップ湯川結合
 - 250-500 GeV: ダークマターの解明、新物理の解明
- 第2期: 1 TeV(全長50 km)に拡張?
 - これから出てくる物理によって方針を決める

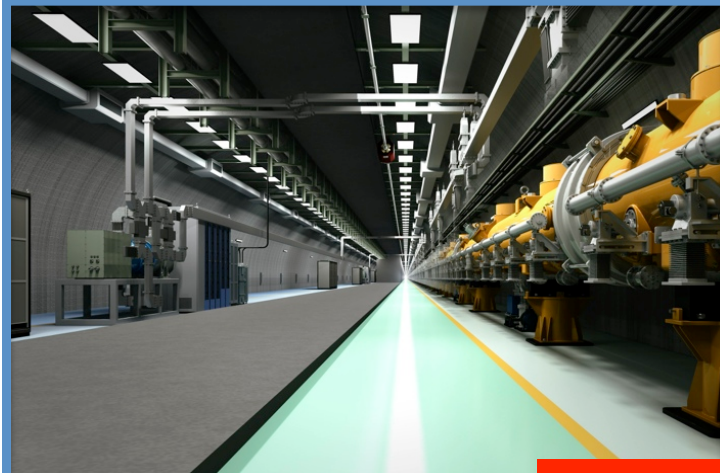
2013/May

国際リニアコライダー計画

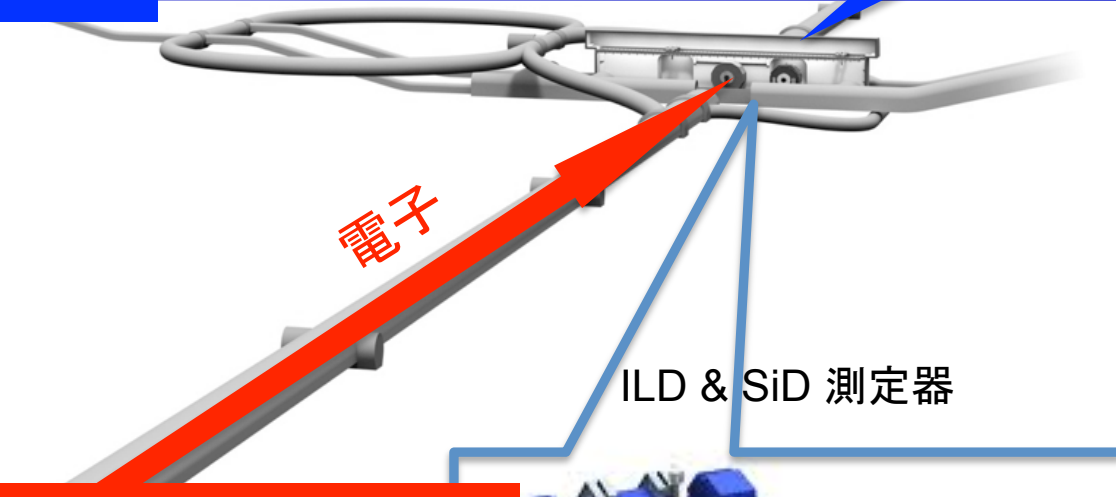
International Linear Collider (ILC)

電子・陽電子を超高速で衝突させ、
ビックバン直後の宇宙を再現！

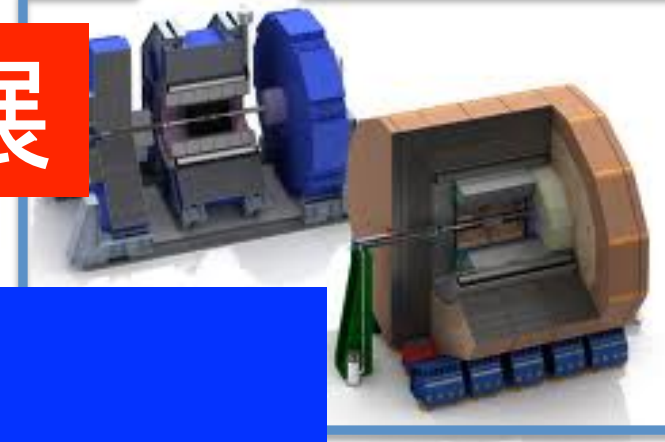
陽電子



全長31km、地下トンネル内に建設される
最先端装置群



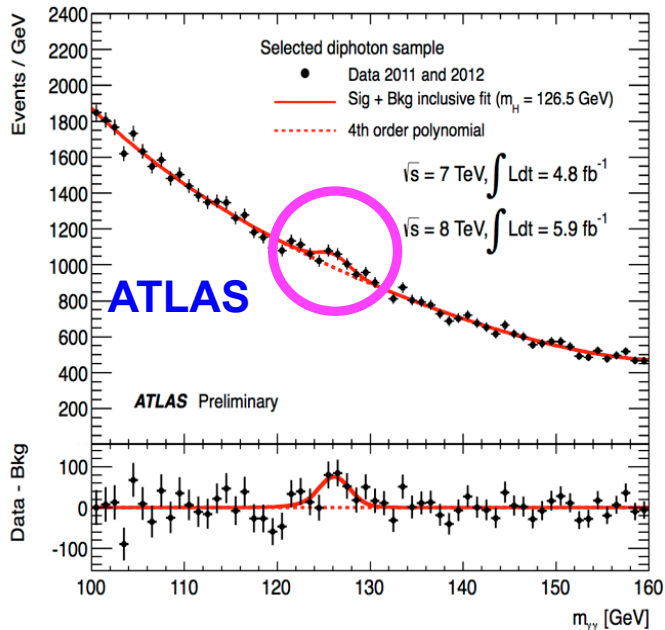
昨年来、大きな進展



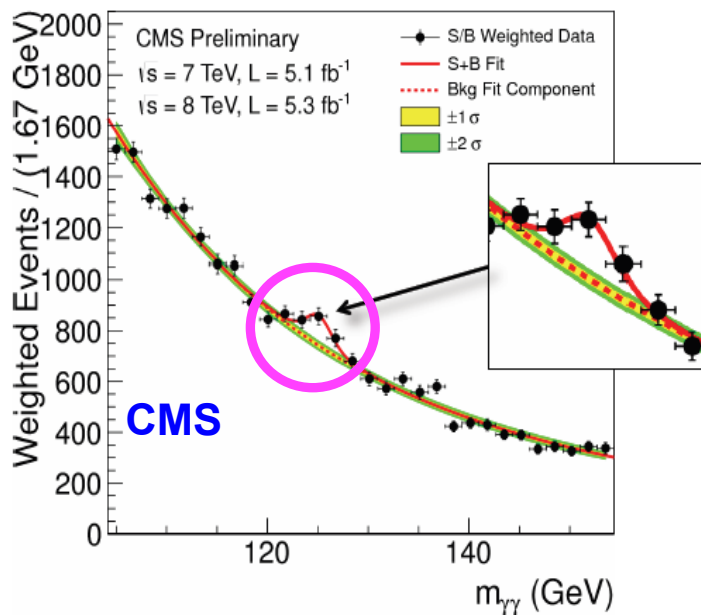
- 第1期: 250-500 GeV (全長31 km)
 - 250 GeV: ヒッグス工場
 - 350 GeV: トップ工場
 - 500 GeV: ヒッグス自己結合、トップ湯川結合
 - 250-500 GeV: ダークマターの解明、新物理の解明
- 第2期: 1 TeV(全長50 km)に拡張?
 - これから出てくる物理によって方針を決める

2013/May

進展①:LHCでのヒッグス発見



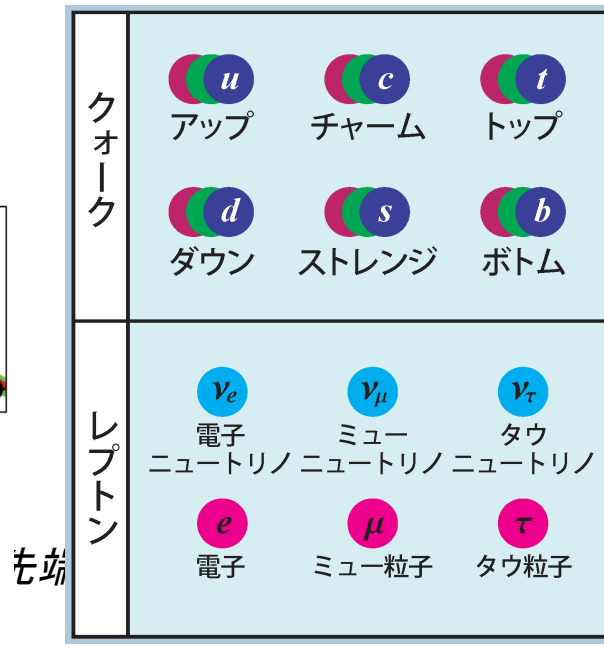
2012.07.04



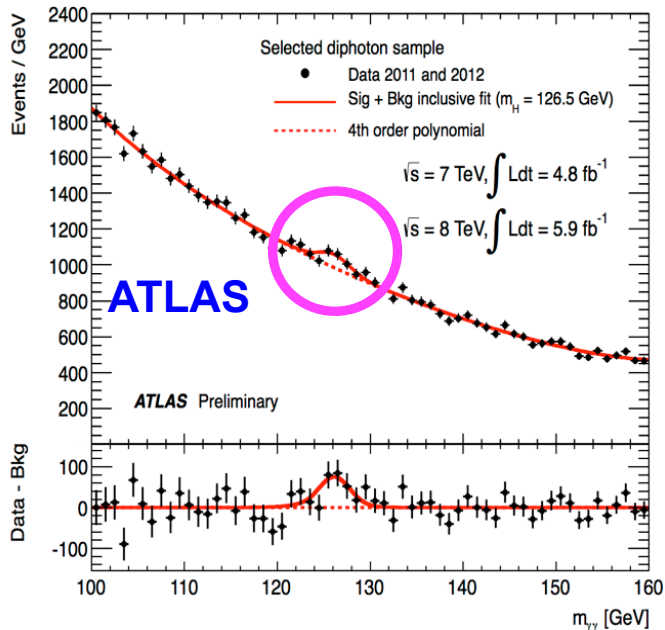
- 全く新しいタイプの素粒子
- 新たな革命の始まり



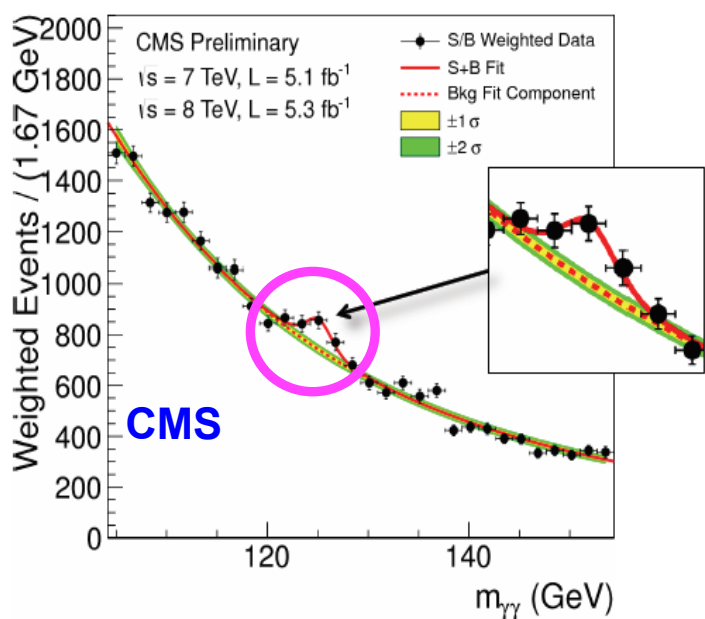
Brand-new!!



進展①:LHCでのヒッグス発見



2012.07.04

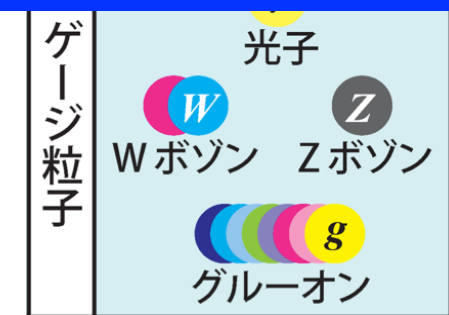
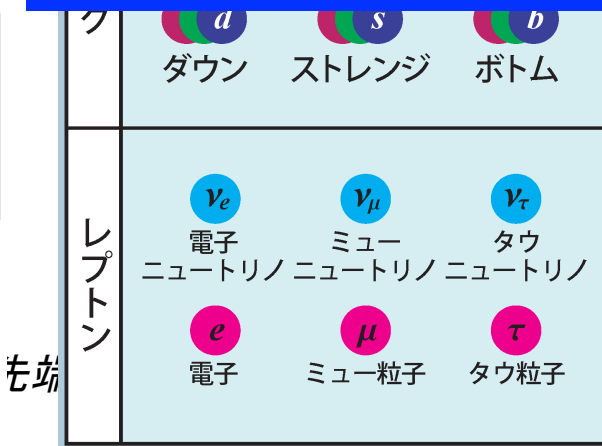


- 全く新しいタイプの素粒子
- 新たな革命の始まり



Brand-new!!

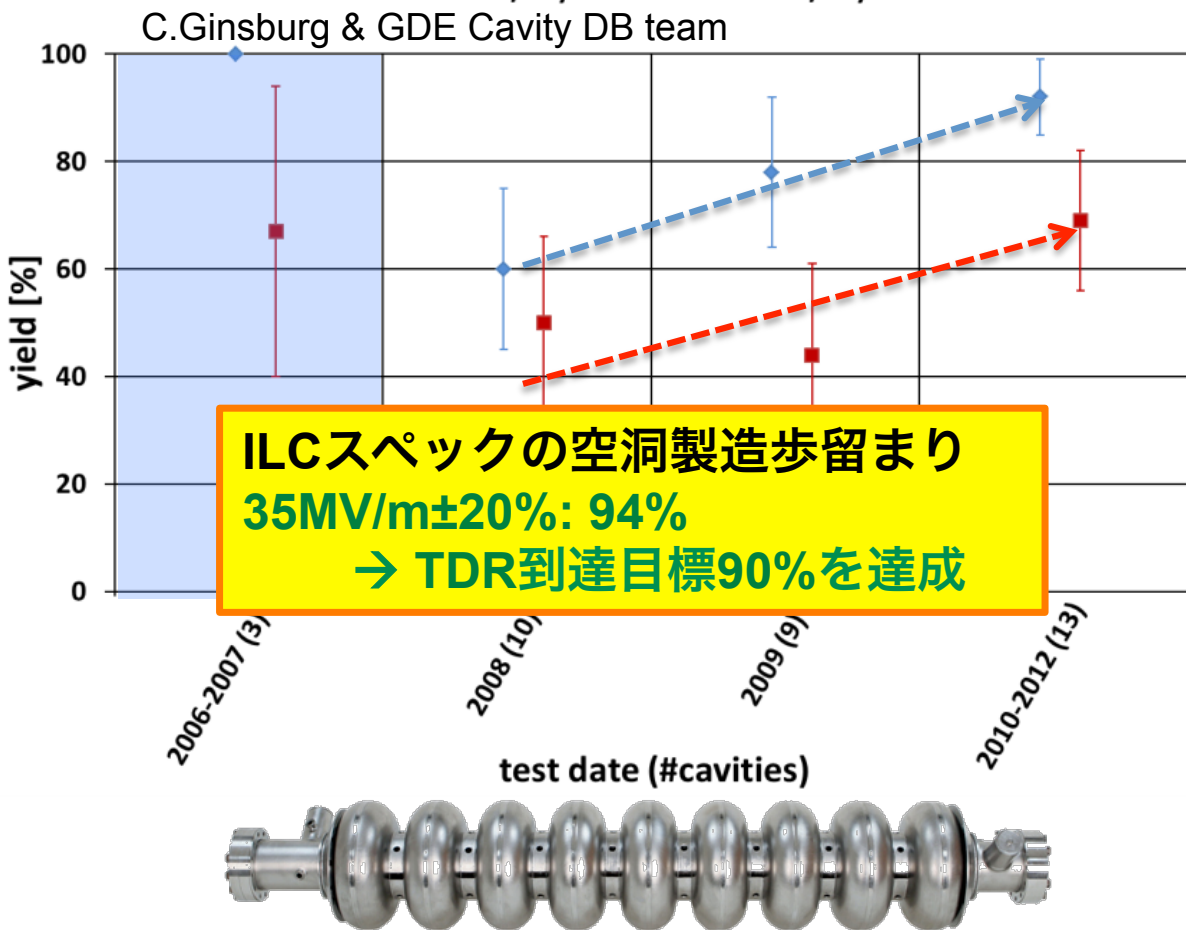
- ILCでの測定に最適な質量
- ILCの最初の目標が確定



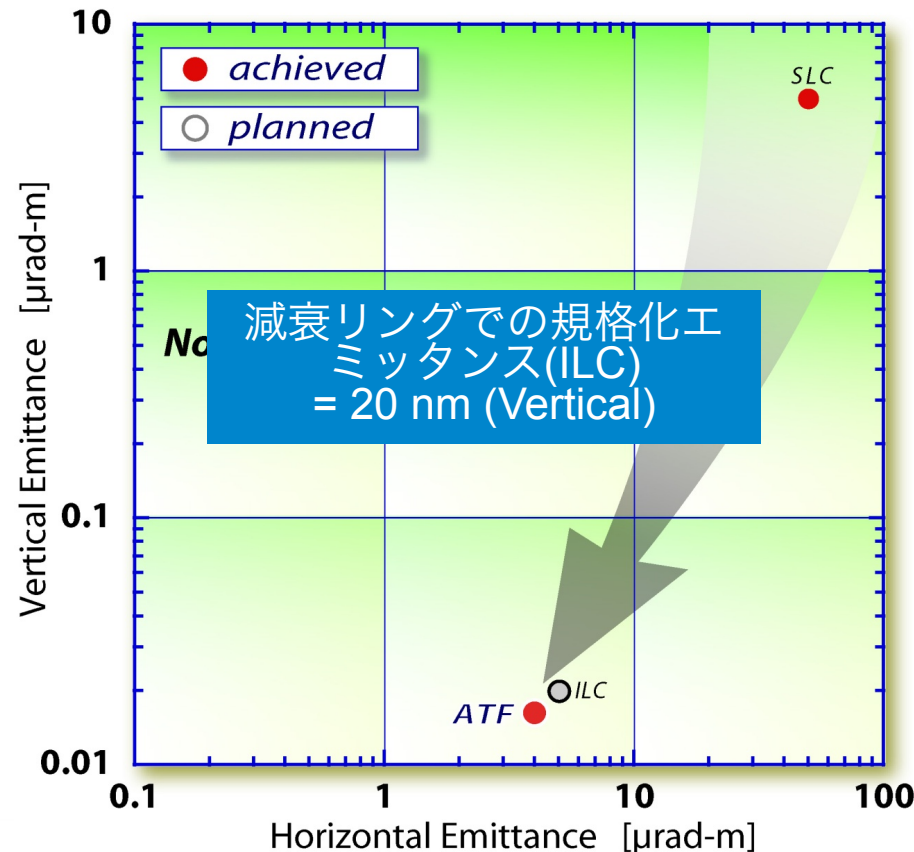
進展②: ILC加速器技術設計完了(2012.12)

加速空洞生産の歩留まり

process



ATF: 目標エミッタance達成



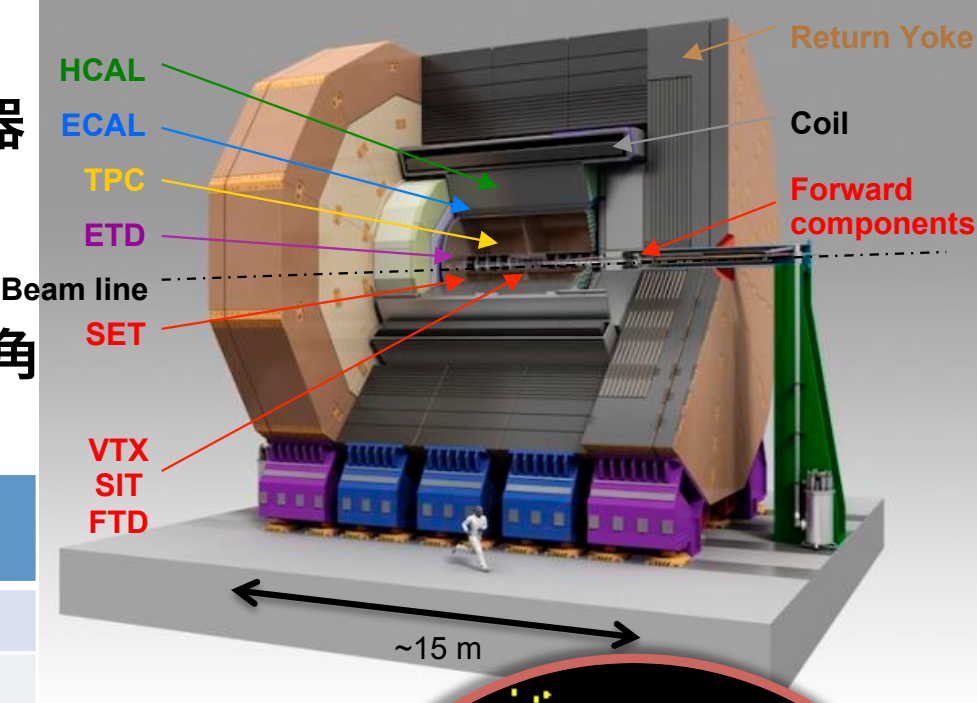
ILCの主要開発項目の加速空洞とエミッタanceは目標達成
2013年以降の建設はReady

進展③: ILC測定器詳細設計完了(2012.12)

先進的なテクノロジーの高精細センサーを搭載

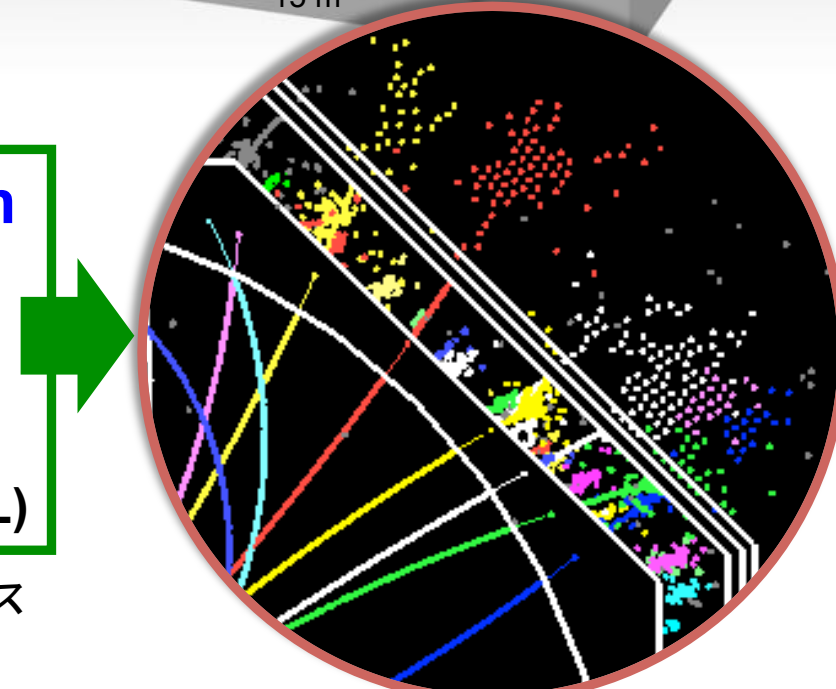
- 崩壊点検出器: 高精細&低物質量pixel検出器
- 飛跡検出器(TPC): 高分解能&低物質量、MPGD読み出し
- カロリーメータ: 超高精細センサー、5mm角(ECAL)、3cm角(HCAL)

検出器 センサーサイズ	ILC	ATLAS	精細度比
崩壊点検出器	5×5 mm ²	400×50 mm ²	800倍
飛跡検出器	1×6 mm ²	13 mm ²	2.2倍
電磁カロリーメータ	シリコン 5×5 mm ²	39×39 mm ²	61倍



高精細検出器を束ねるParticle Flow Algorithm

カロリーメータ中で各粒子のヒットを分離し、最も良い分解能を持つ検出器で粒子のエネルギー測定をする事により
Jet Energy Resolution 最小化する
(荷電粒子→Tracker、光子→ECAL、中性ハドロン→HCAL)



この先は建設 → 物理成果へ

進展③: ILC測定器詳細設計完了(2012.12)

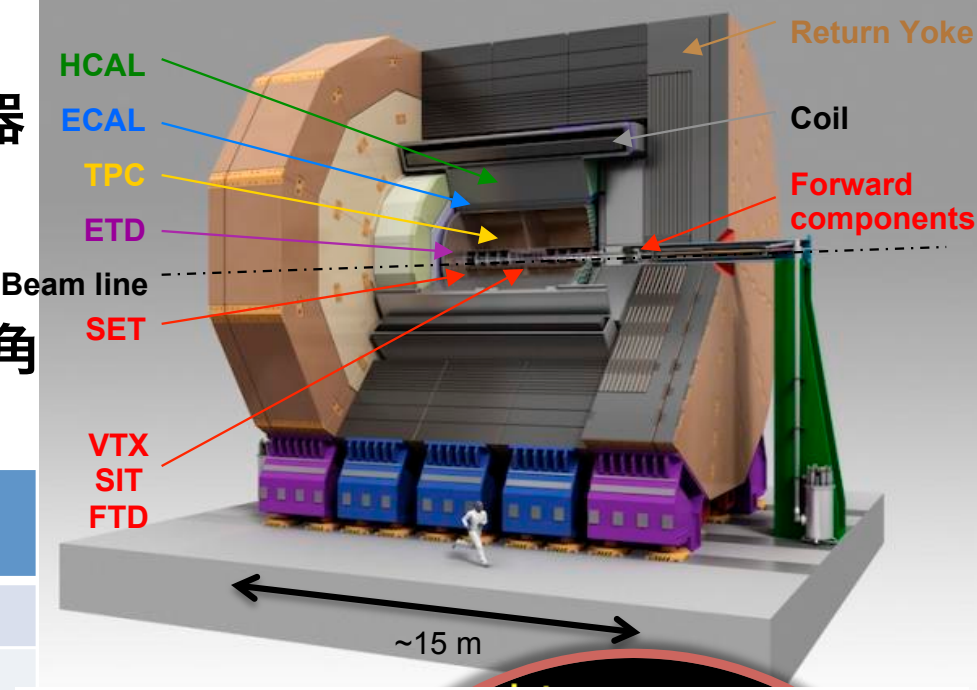
先進的なテクノロジーの高精細センサーを搭載

- 崩壊点検出器: 高精細&低物質量pixel検出器
- 飛跡検出器(TPC): 高分解能&低物質量、MPGD読み出し
- カロリーメータ: 超高精細センサー、5mm角(ECAL)、3cm角(HCAL)

検出器 センサーサイズ	ILC	ATLAS	精細度比
崩壊点検出器	5×5 mm ²	400×50 mm ²	800倍
飛跡検出器	1×6 mm ²	13 mm ²	2.2倍
電磁カロリーメータ	シリコン 5×5 mm ²	39×39 mm ²	61倍

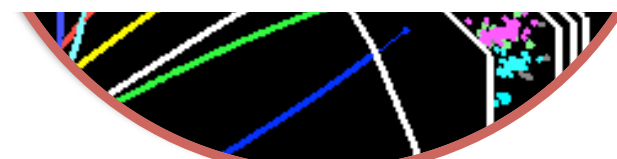
高精細検出器を束ねるParticle Flow Algo

カロリーメータ中で各粒子のヒットを分離し、最も良好解能を持つ検出器で粒子のエネルギー測定をする事によりJet Energy Resolution最小化する
(荷電粒子→Tracker、光子→ECAL、中性ハドロン→



E_j	$RMS_{90}(E_j) / mean_{90}(E_j)$
45 GeV	3.7%
100 GeV	2.8%
180 GeV	2.9%
250 GeV	2.9%

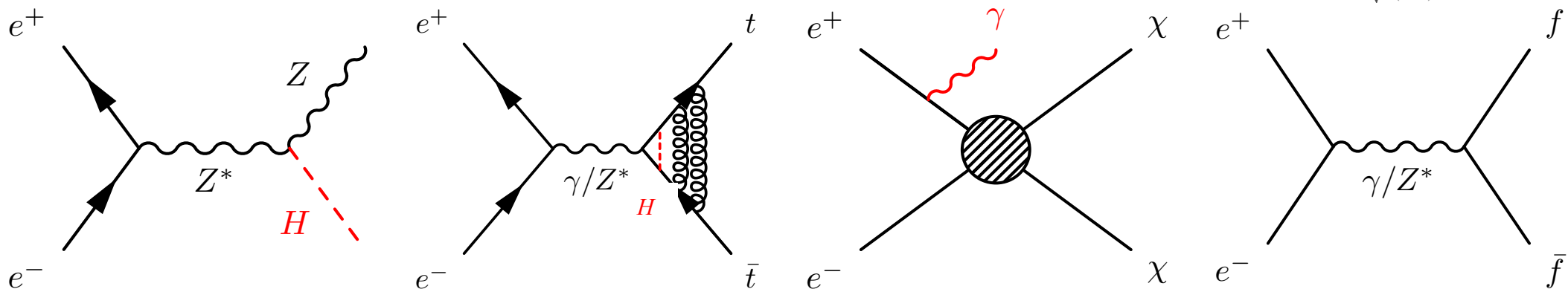
この先は建設 → 物理成果へ



ILCの物理プログラム

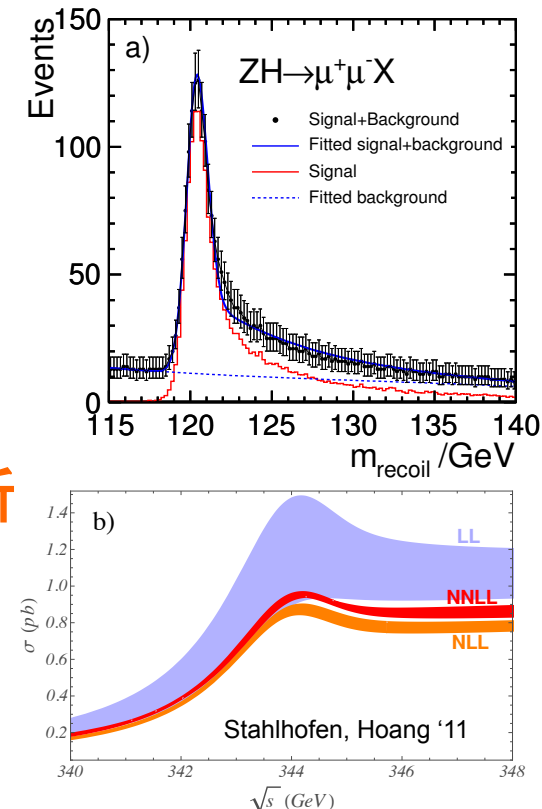
ILC物理プログラムの二本柱:

- 精密測定の物理:
 - ヒッグスセクターの解明
 - Top, W/Z, そして新粒子の相互作用
- 新粒子・新物理の探索
 - カラーを持たない新粒子、特にカラーを持たない中性新粒子(ダークマターの候補)の優れた発見能力
 - 新粒子の直接生成による発見だけでなく、既知の粒子生成過程の精密測定による間接的な発見が可能



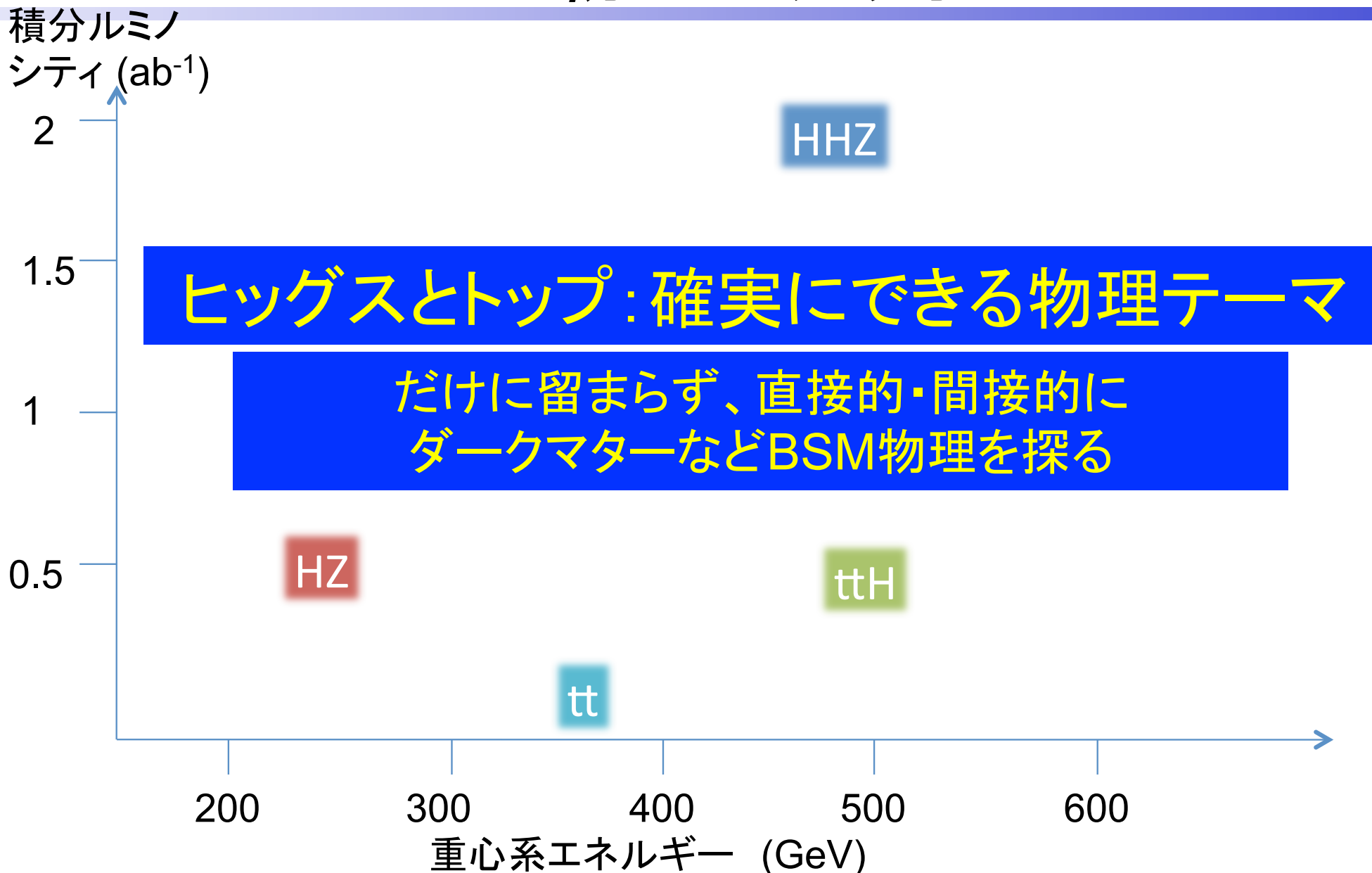
2013/May/25

先端加速器LHCが切り拓くテラス
ケールの素粒子物理学



10

ILCの物理シナリオ



ILC(e^+e^- コライダー)での測定方法

ビーム

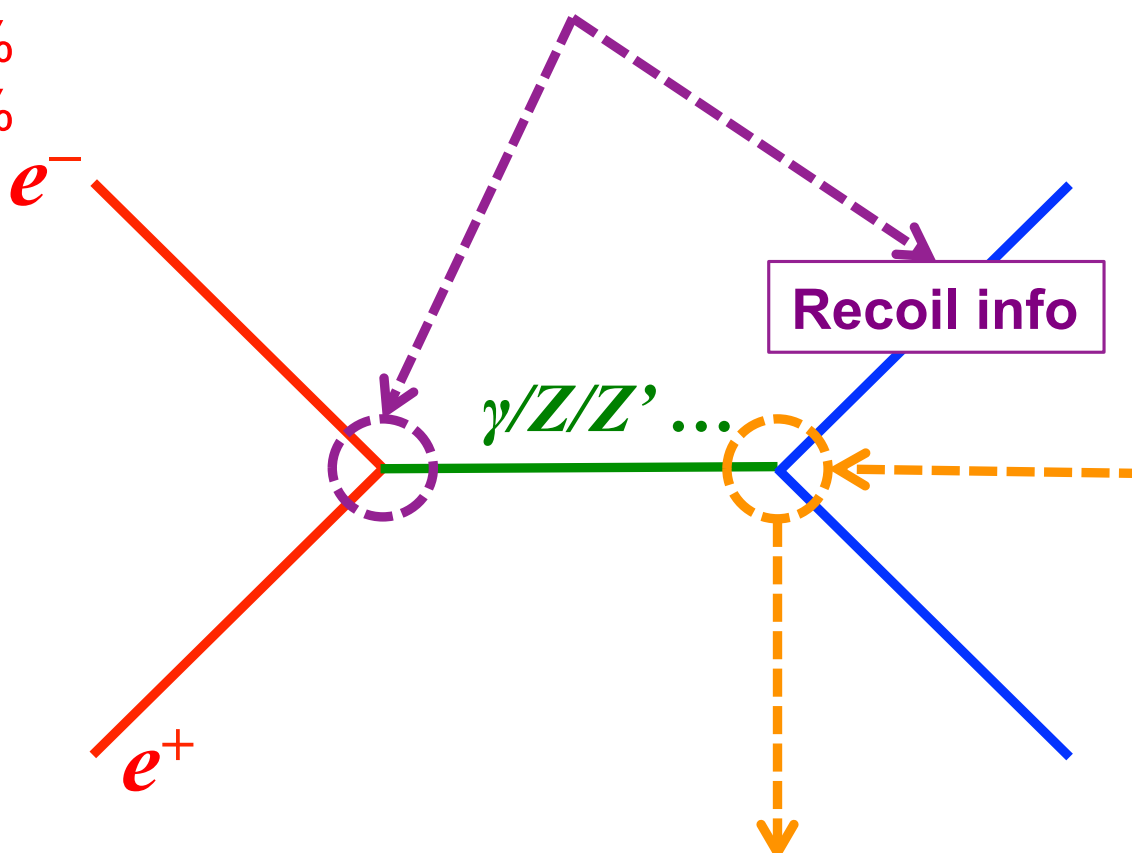
エネルギーと偏極度を
コントロールできる

$$P_{\text{electron}} = \pm 80\%$$

$$P_{\text{positron}} = \pm 30\%$$

反応の素過程

LEPで十分理解されている
理論の不定性 <1%



検出・測定

低バックグラウンド
超細分化されたセンサー
データは全部とる

粒子の生成

ヒッグス
トップクォーク
新粒子、たとえば
ダークマター
などの可能性

質量、スピン/CP, 結合定数などの決定
新しい物理と新しい基本原理の発見

ILCステージング計画

- 主線形加速器を延ばしていくば徐々にエネルギーを上げることができる。
* ただしDamping Ring等、他の施設があるためコストは長さに比例しない。
- 重要な物理に照準を合わせる: 250, 350, 500GeV → 1TeV
- 間はenergy scan、何か見つかればそこで重点的にデータ取得

TDR parameters

E_{CM} (GeV)	250	350	500	1000
Luminosity ($10^{34} \text{ cm}^{-2} \text{ s}^{-1}$)	0.75	1.0	1.8	4.9
Integrated Luminosity (fb^{-1})	250	350	500	1000
Number of days *	385	405	322	233

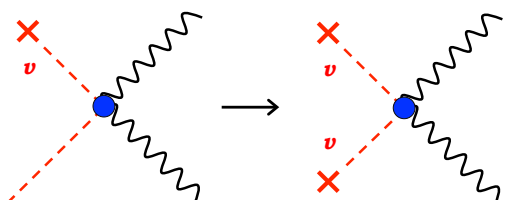
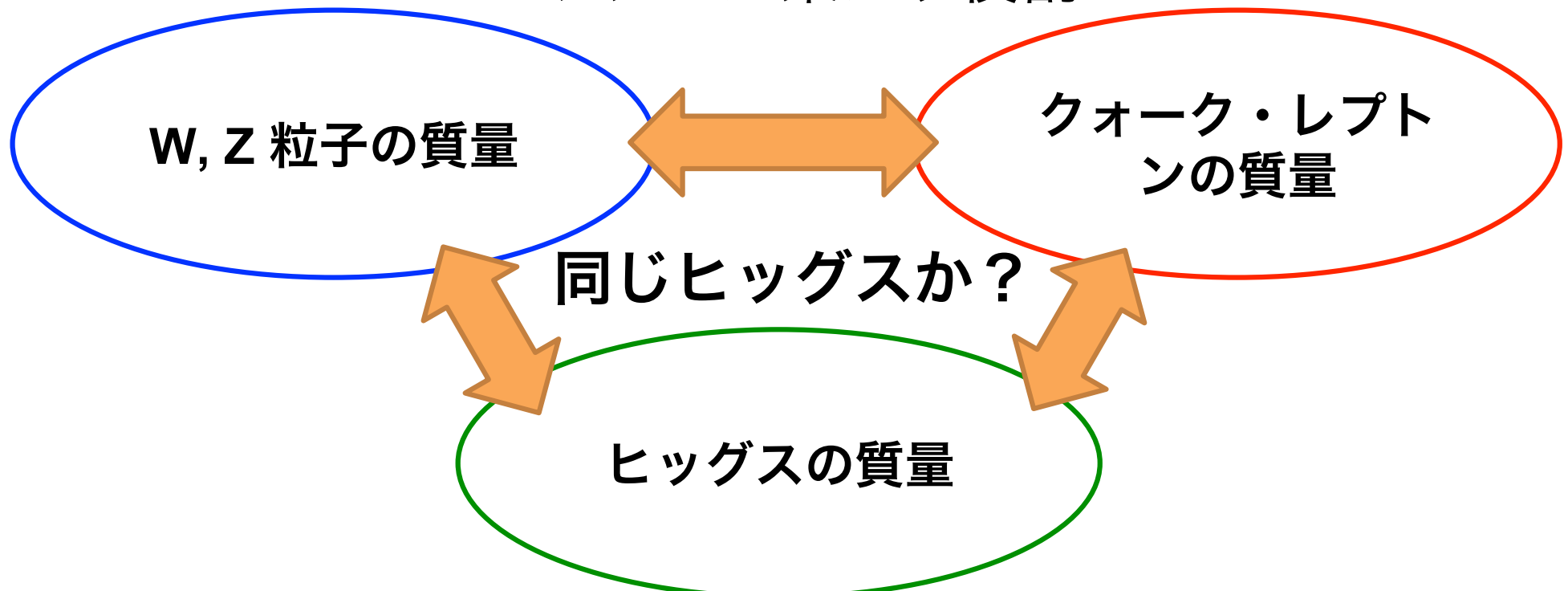
* Peak luminosityで走り続けた場合

ルミノシティ2倍オプション有り
(バンチ数1300→2600)

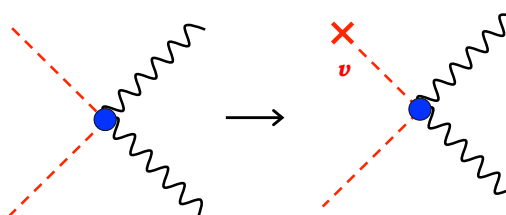
* Damping Ring & Beam Deliveryの改良により、衝突エミッタンスを下げられる可能性。

ヒッグス場、ヒッグス粒子

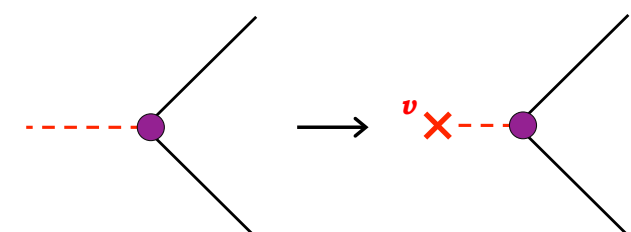
ヒッグスが果たす役割



HWW, HZZ coupling



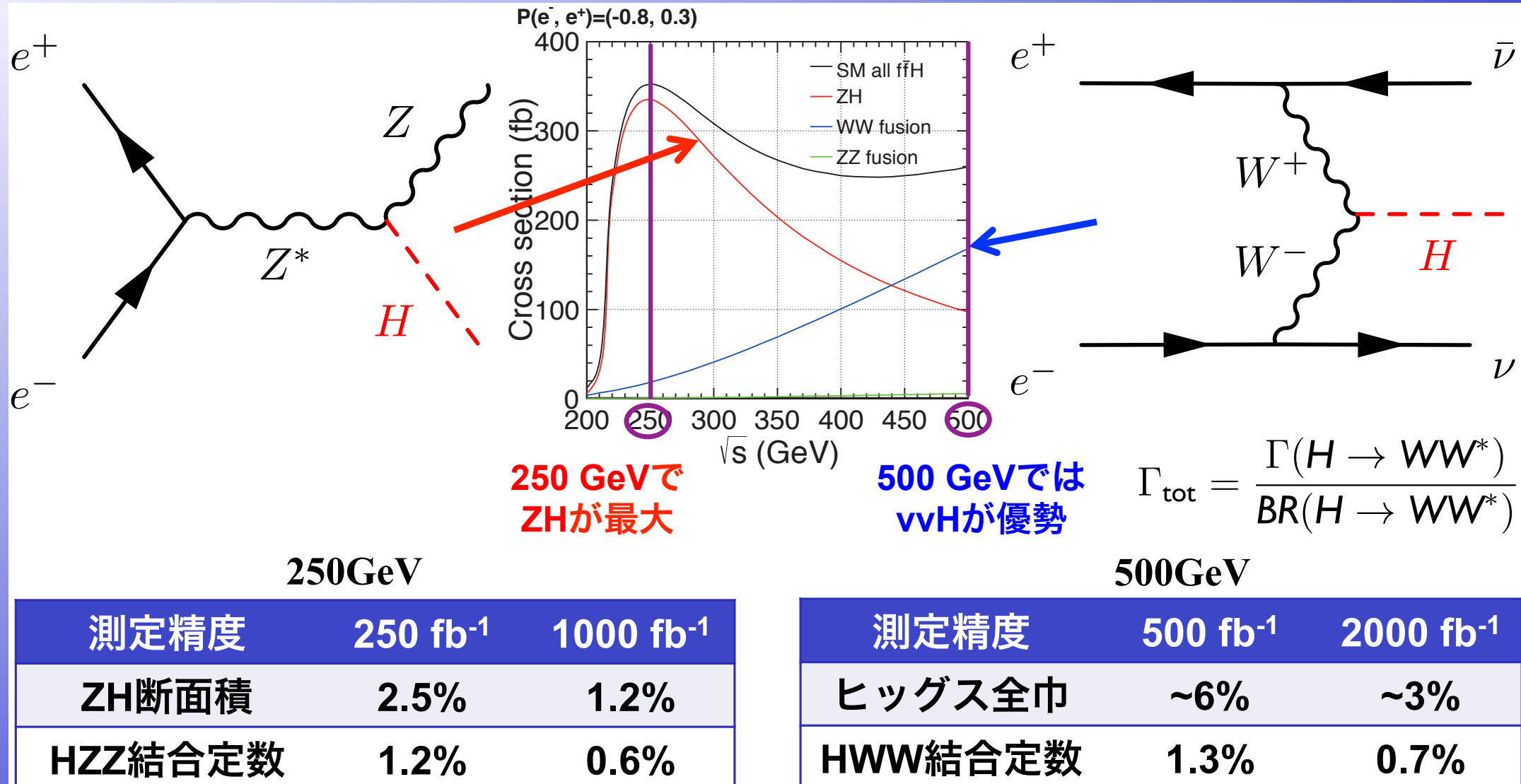
Higgs self-coupling



Yukawa coupling

ILCは、すべてのヒッグス結合を独立に測定する。

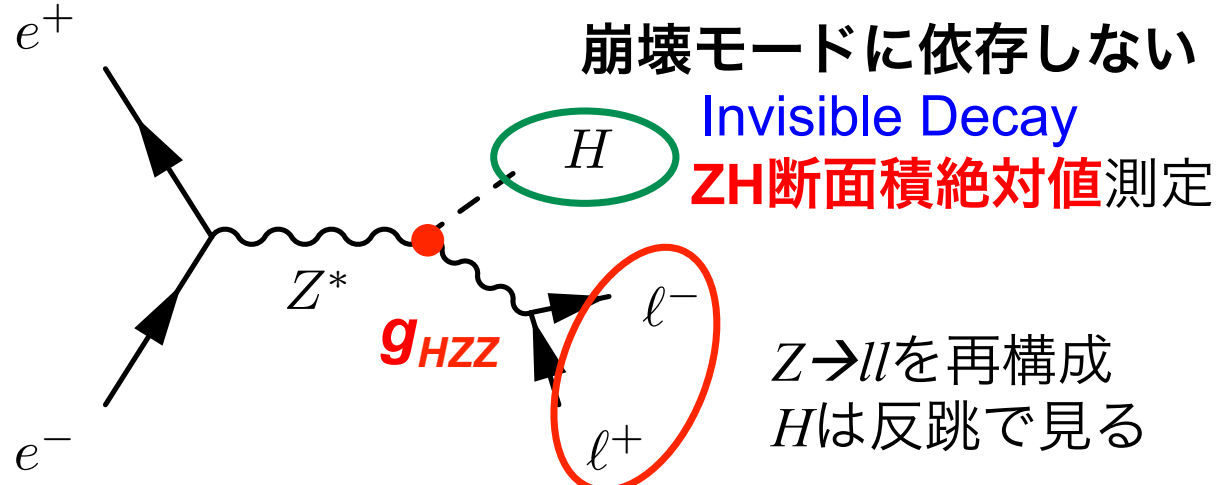
ILCヒッグス生成: 2つのメインモード



HZZ, HW W 結合定数の精度:<1%

反跳質量測定

反跳質量測定: $ZH \rightarrow l^+l^-X$

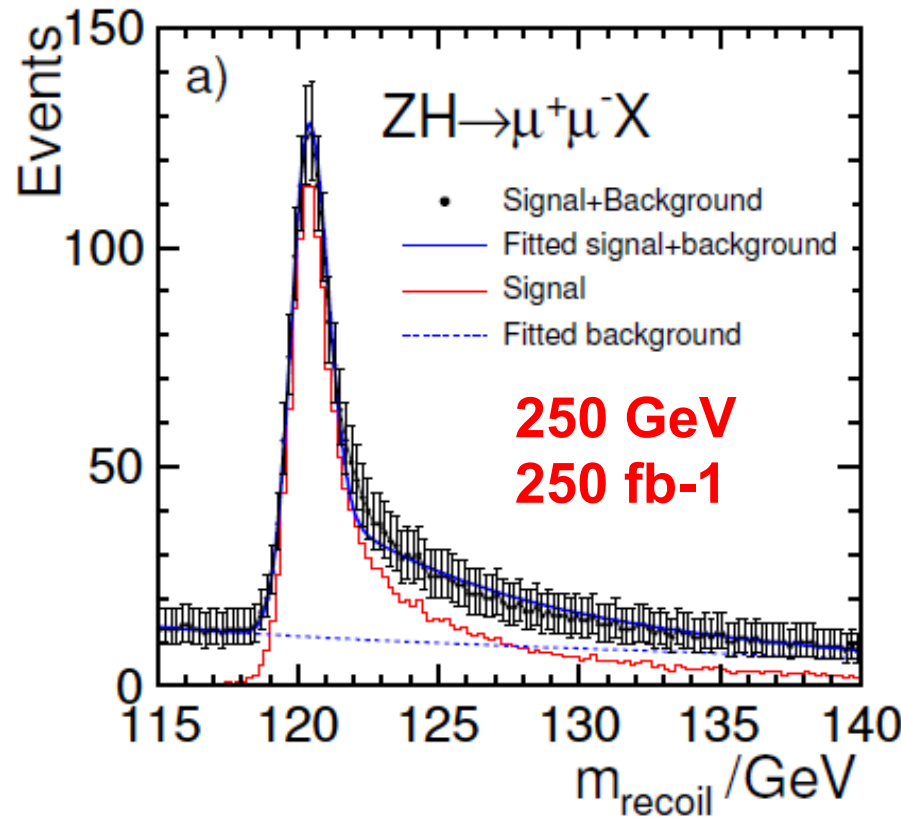


$$m_{\text{recoil}}^2 = (\sqrt{s} - E_{\ell\ell})^2 - |\vec{p}_{\ell\ell}|^2$$

測定精度	250 fb^{-1}	1000 fb^{-1}
ZH断面積	2.5%	1.2%
HZZ結合定数	1.2%	0.6%

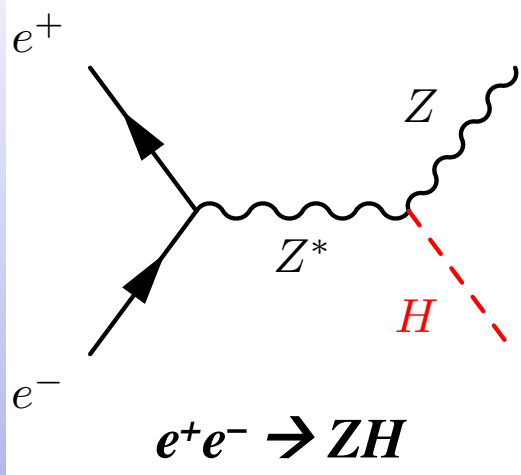
2013/May/25

先端加速器LHCが切り拓くテラ
ケールの素粒子物理学

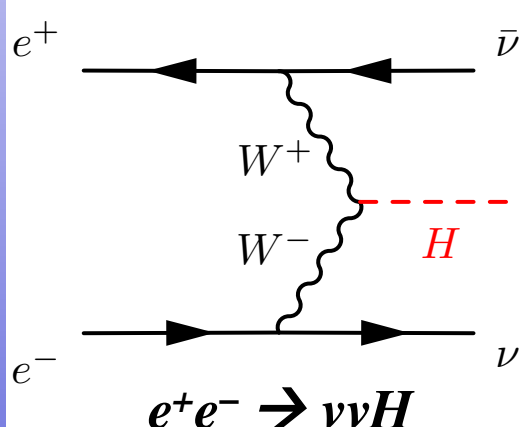


ヒッグス質量
 $\Delta m_H \leq 30 \text{ MeV}$
2つのHiggsが縮退した
モデルの識別
e.g. Singlet Mixing

ヒッグス崩壊分岐比測定

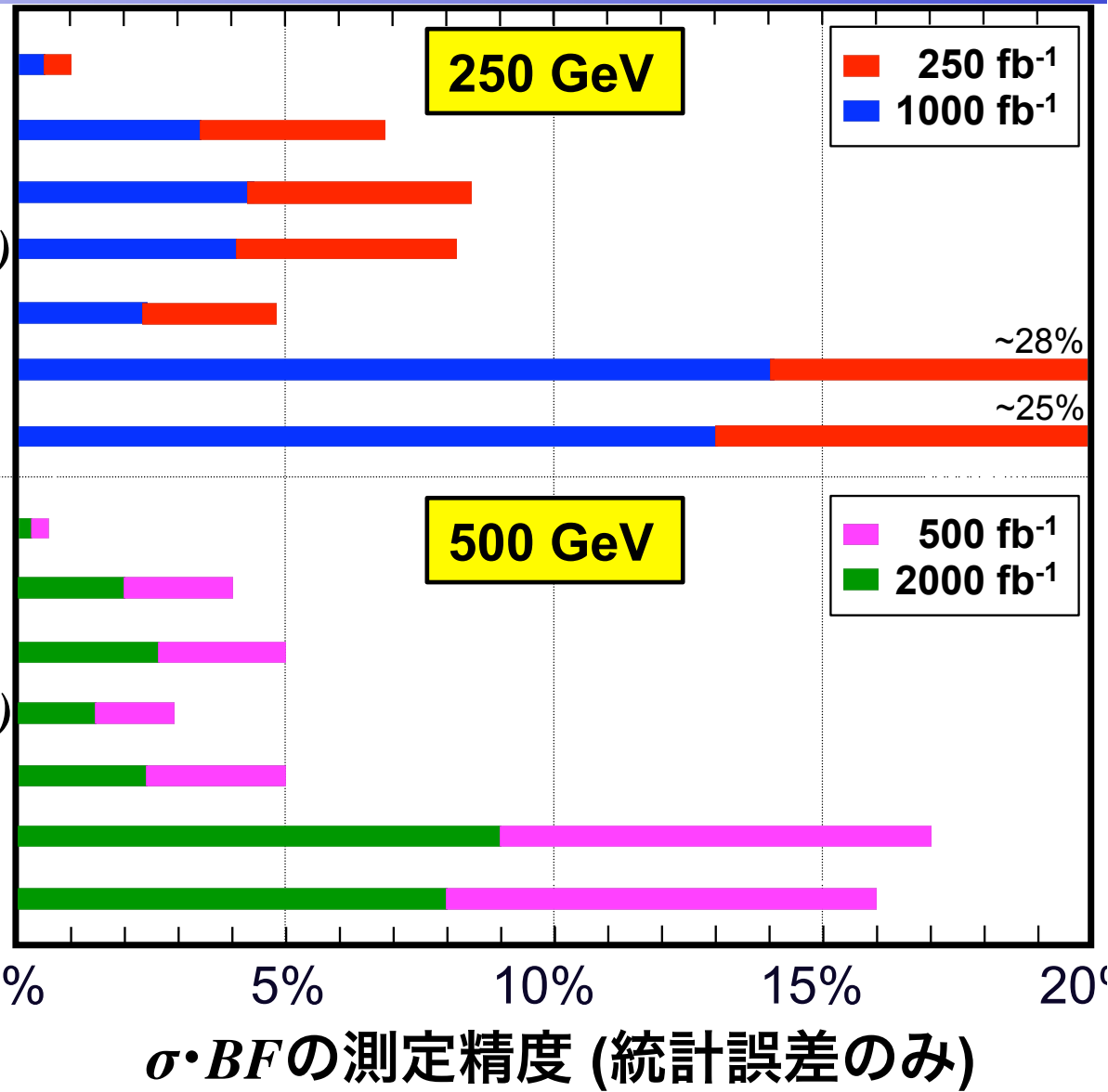


- $\sigma \cdot BF(H \rightarrow b\bar{b})$
- $\sigma \cdot BF(H \rightarrow c\bar{c})$
- $\sigma \cdot BF(H \rightarrow gg)$
- $\sigma \cdot BF(H \rightarrow WW^*)$
- $\sigma \cdot BF(H \rightarrow \tau^+\tau^-)$
- $\sigma \cdot BF(H \rightarrow ZZ^*)$
- $\sigma \cdot BF(H \rightarrow \gamma\gamma)$

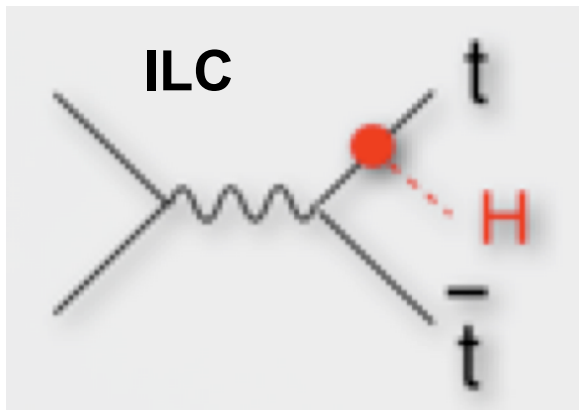


- $\sigma \cdot BF(H \rightarrow b\bar{b})$
- $\sigma \cdot BF(H \rightarrow c\bar{c})$
- $\sigma \cdot BF(H \rightarrow gg)$
- $\sigma \cdot BF(H \rightarrow WW^*)$
- $\sigma \cdot BF(H \rightarrow \tau^+\tau^-)$
- $\sigma \cdot BF(H \rightarrow ZZ^*)$
- $\sigma \cdot BF(H \rightarrow \gamma\gamma)$

$\sigma_{ZH} (\sigma_{\nu\nu H})$ の誤差は
1.2-2.5% (2-3%)

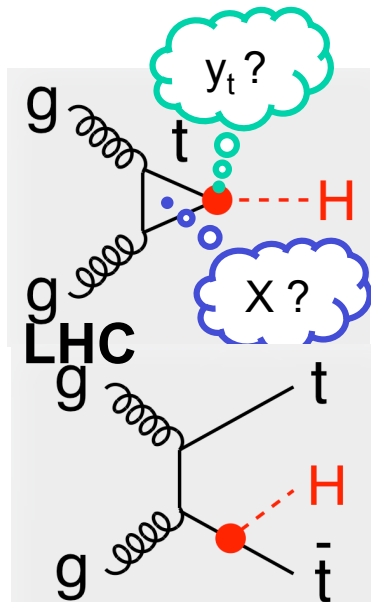


トップ湯川結合

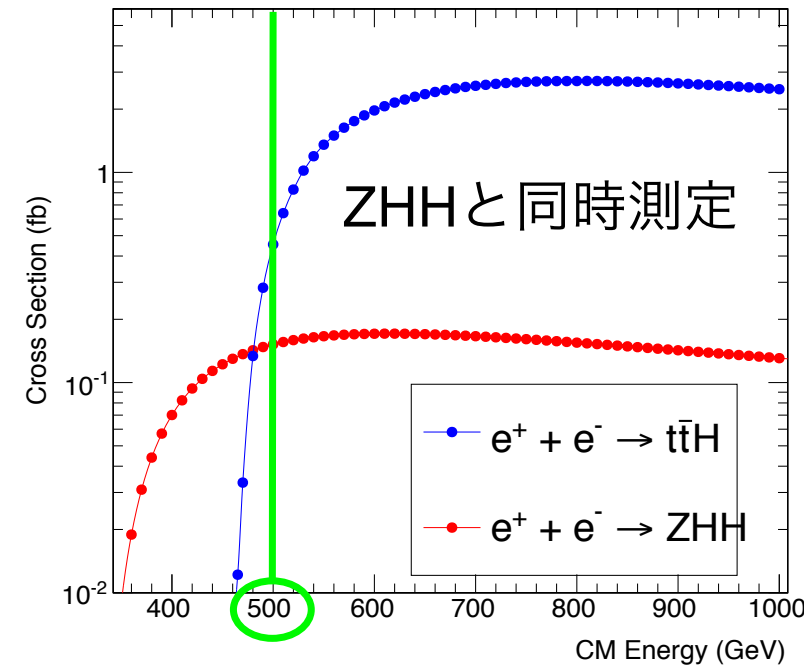


- トップ湯川結合 ≈ 1
 - トップが突出して重い特別な理由はあるか？

Strongly Interacting Light Higgs:
トップ湯川が数10%でずれる可能性 → 検証



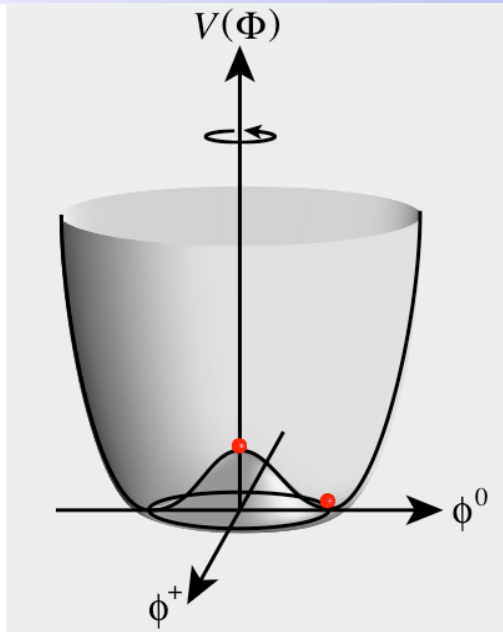
Direct measurement
challenging at LHC;
 $H \rightarrow \tau\tau$ may be possible



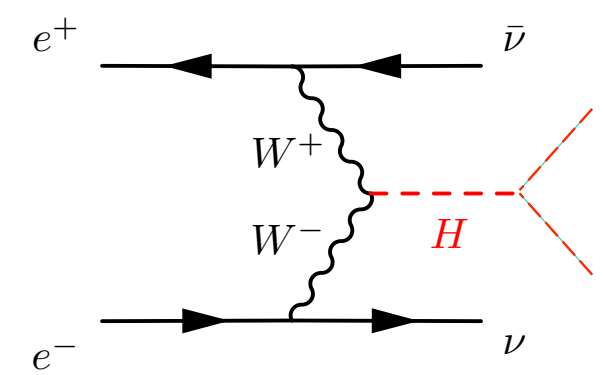
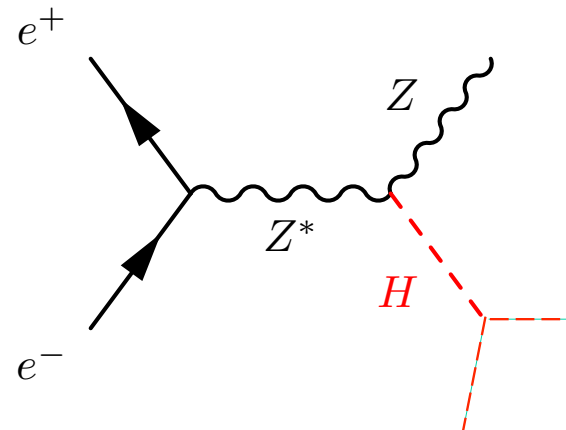
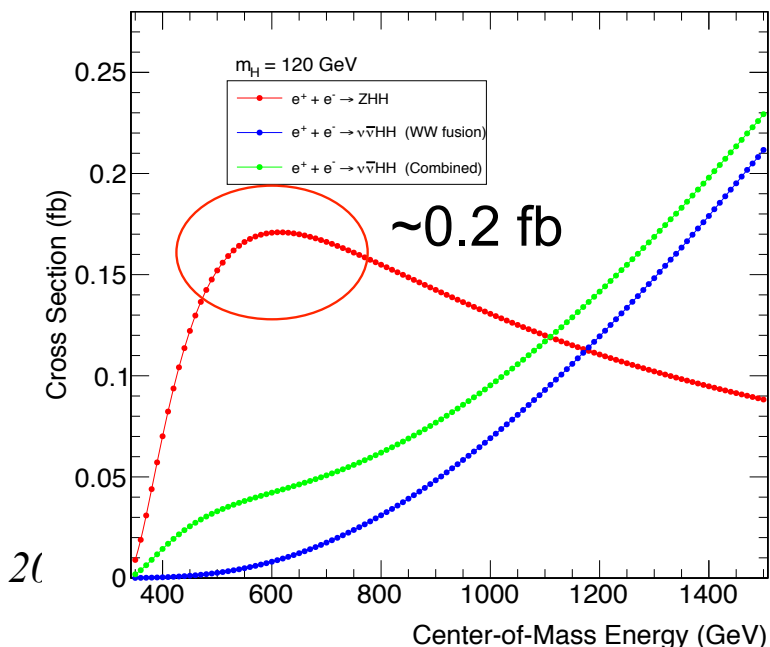
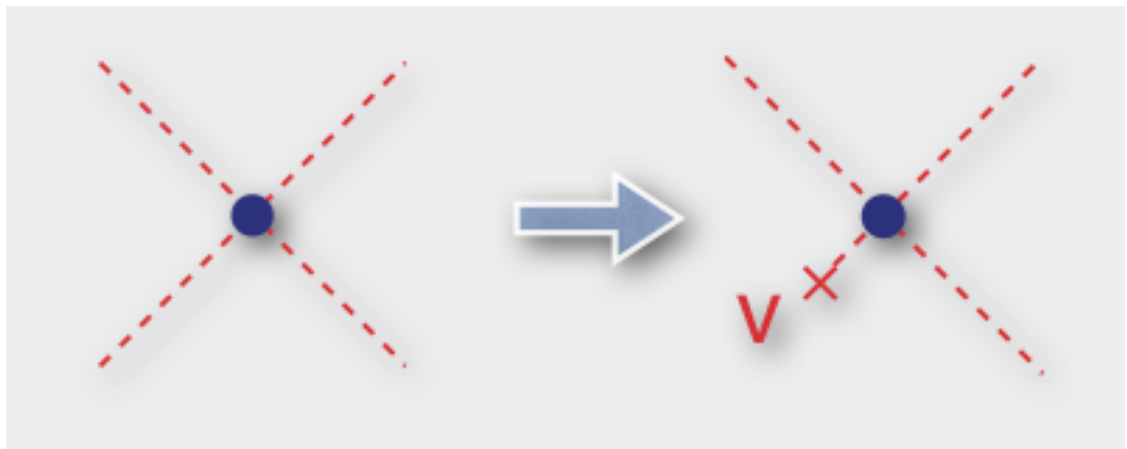
データ	S/B	Efficiency	断面積 $\Delta\sigma/\sigma$	トップ湯川 $\Delta y/y$
1 ab ⁻¹	~0.4	~0.15	25%	13%
5 ab ⁻¹	~0.4	~0.15	11%	6%

トップ湯川結合の精度は~10% (500 GeV)
1 TeVでさらに感度が上がる

ヒッグス自己結合(1)



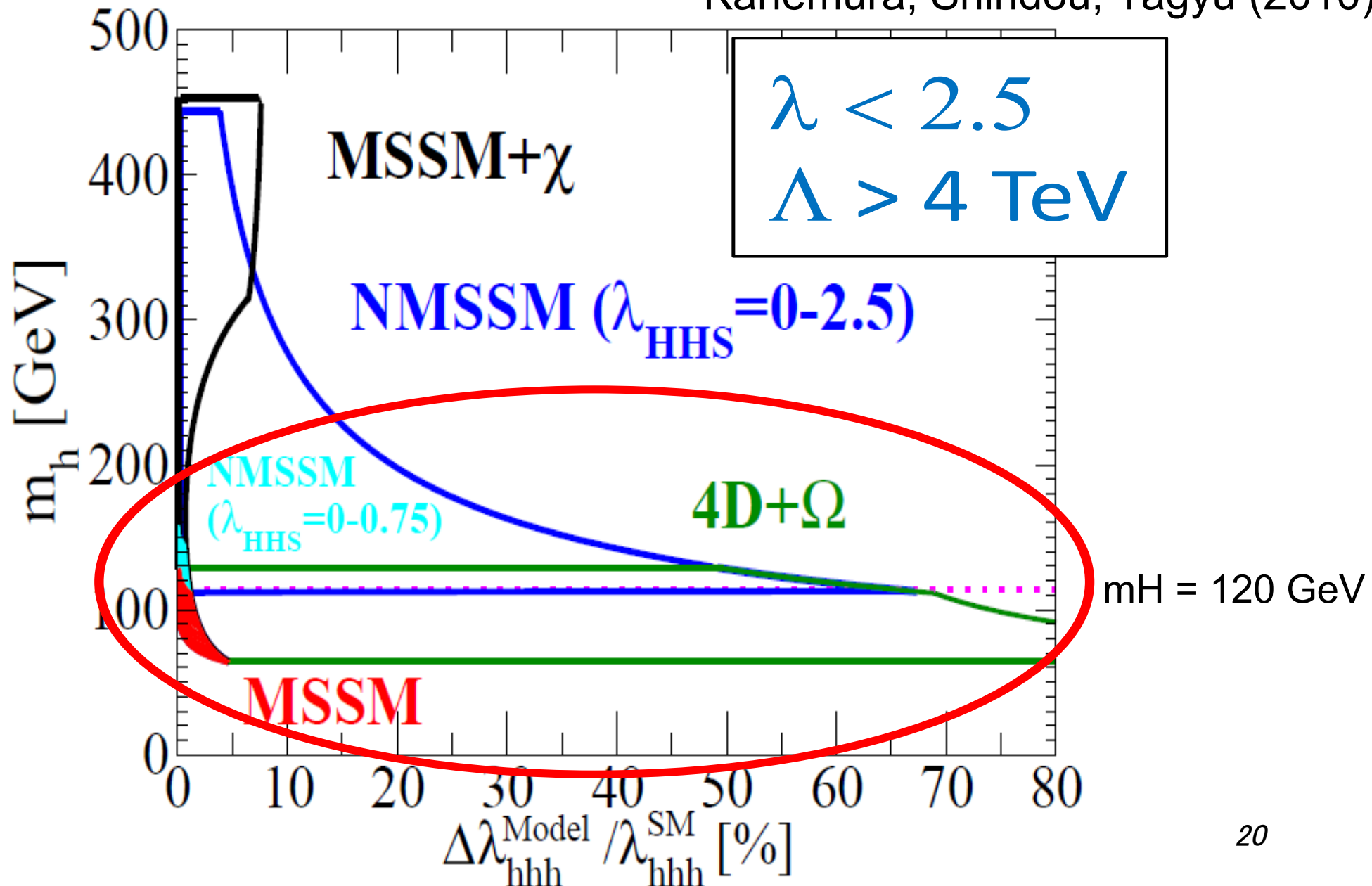
- ヒッグス3点結合の存在
→ヒッグスボテンシャルの形を決める



東大LHCが切り拓くテラス
ールの素粒子物理学

拡張ヒッグスセクターの自己結合異常

Kanemura, Shindou, Yagyu (2010)



ヒッグス自己結合(2)

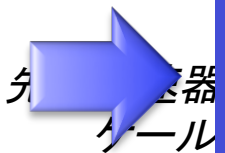
- ZHH断面積は0.2 fb、ZHHのメインモードは6 jet ($H \rightarrow WW$ なら8 jetも)
 - 現在 $H \rightarrow bb$ モードで解析

S/B	Efficiency	断面積 $\Delta\sigma/\sigma$ 2 ab-1	断面積 $\Delta\sigma/\sigma$ 4 ab-1	断面積 $\Delta\sigma/\sigma$ 8 ab-1
~0.5	10%	32%	23%	16%
~0.75	15%	21%	15%	11%
~1.0	20%	16%	12%	8%

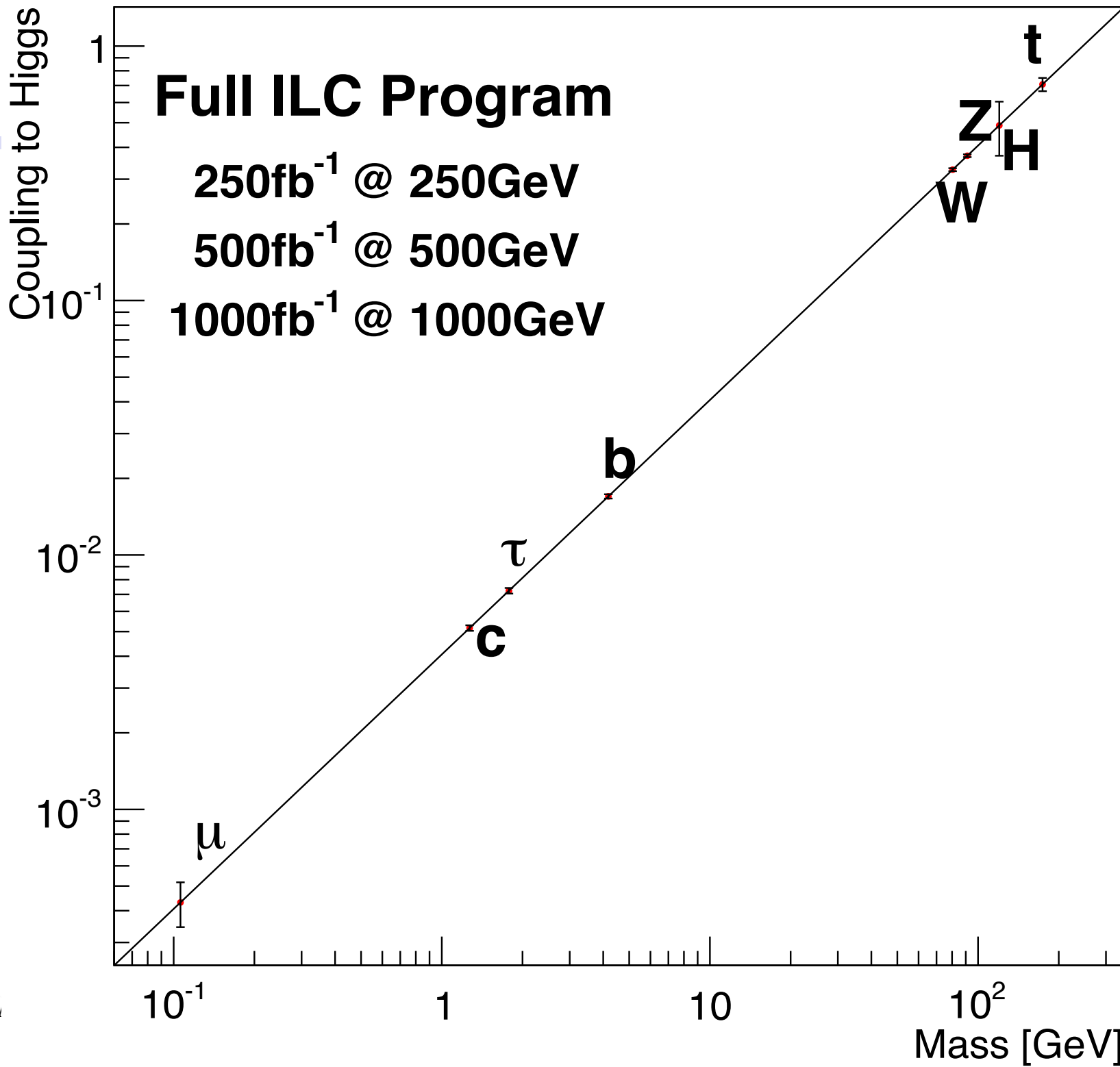
S/B	Efficiency	自己結合 $\Delta\lambda/\lambda$ 2 ab-1	自己結合 $\Delta\lambda/\lambda$ 4 ab-1	自己結合 $\Delta\lambda/\lambda$ 8 ab-1
~0.5	10%	53%	37%	27%
~0.75	15%	35%	25%	18%
~1.0	20%	27%	19%	14%

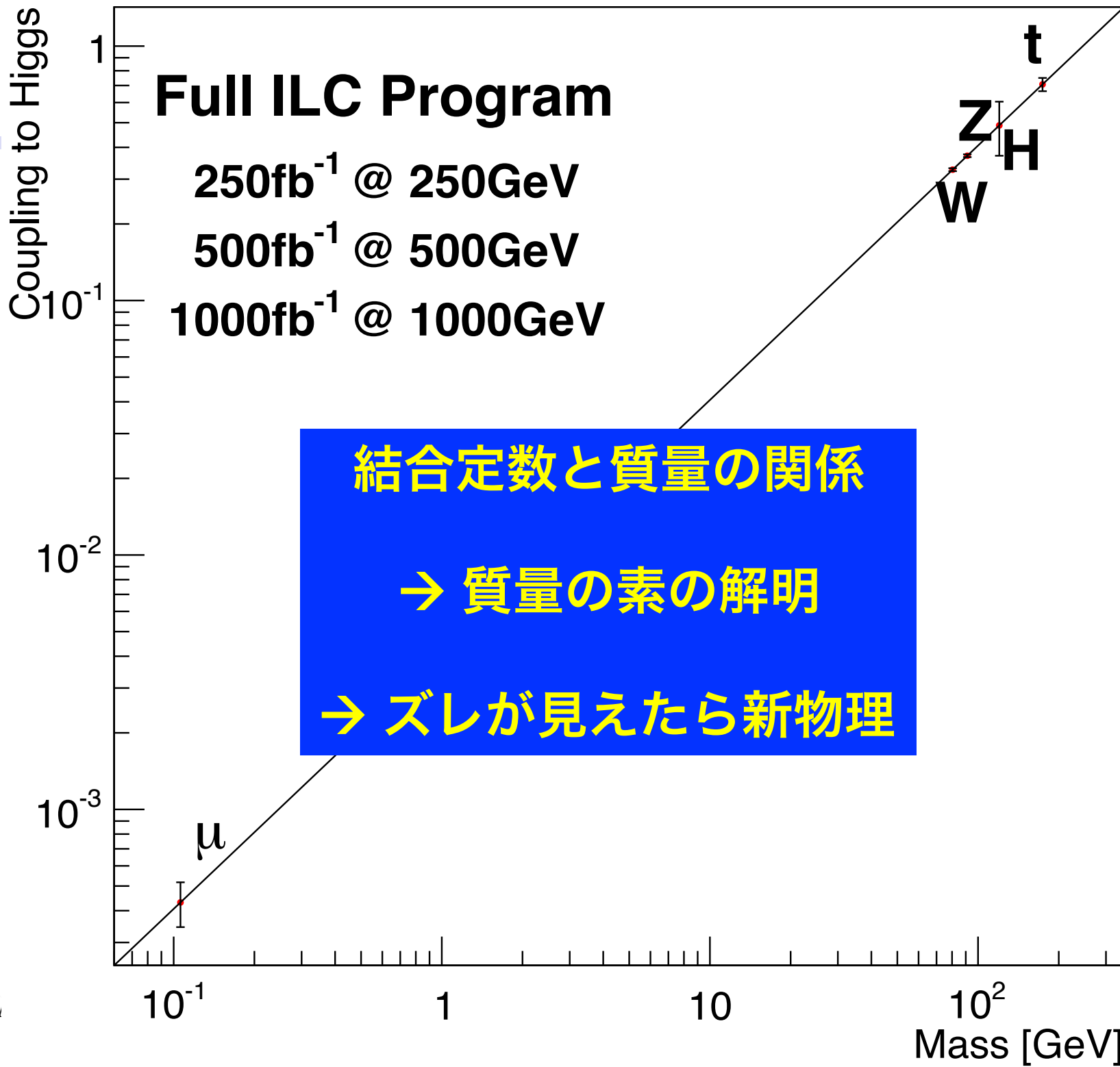
解析の改善点： $H \rightarrow WW$ も含める。Jet Finder、b-tagアルゴリズムの改良

自己結合異常はあるか？



解析の改良を経て
10-20%の精度で自己結合を測定
※1 TeVでさらに感度は上がる（断面積&三点結合の寄与アップ）

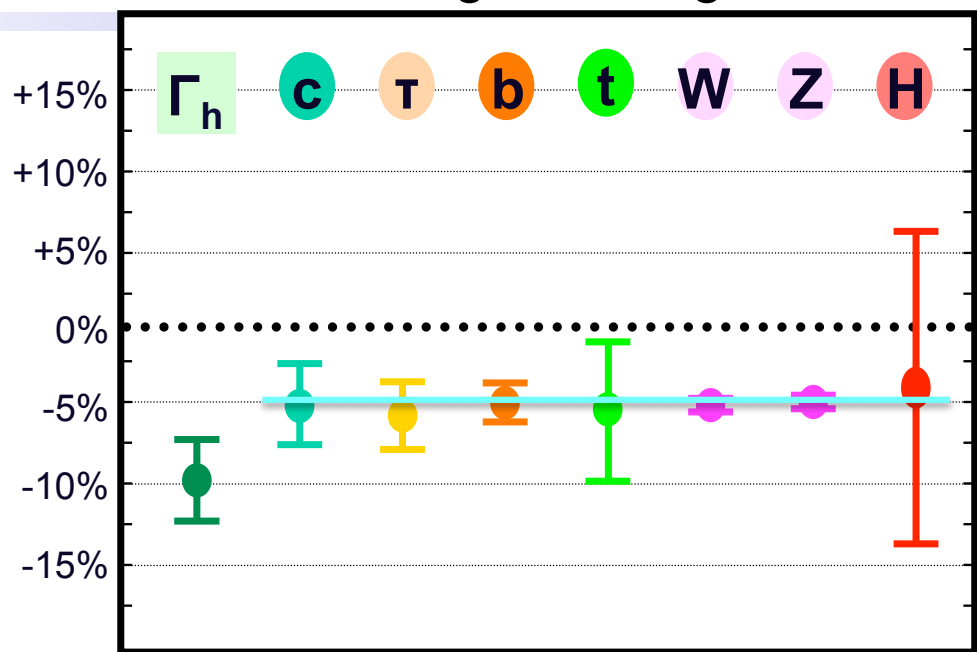




様々な物理の可能性

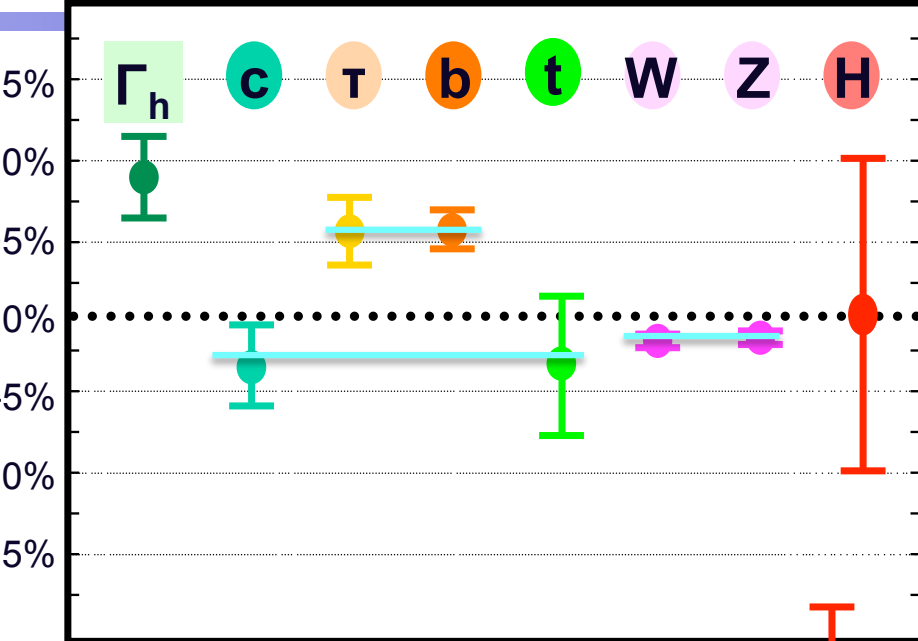
Singlet Mixing

Higgs Coupling Deviation



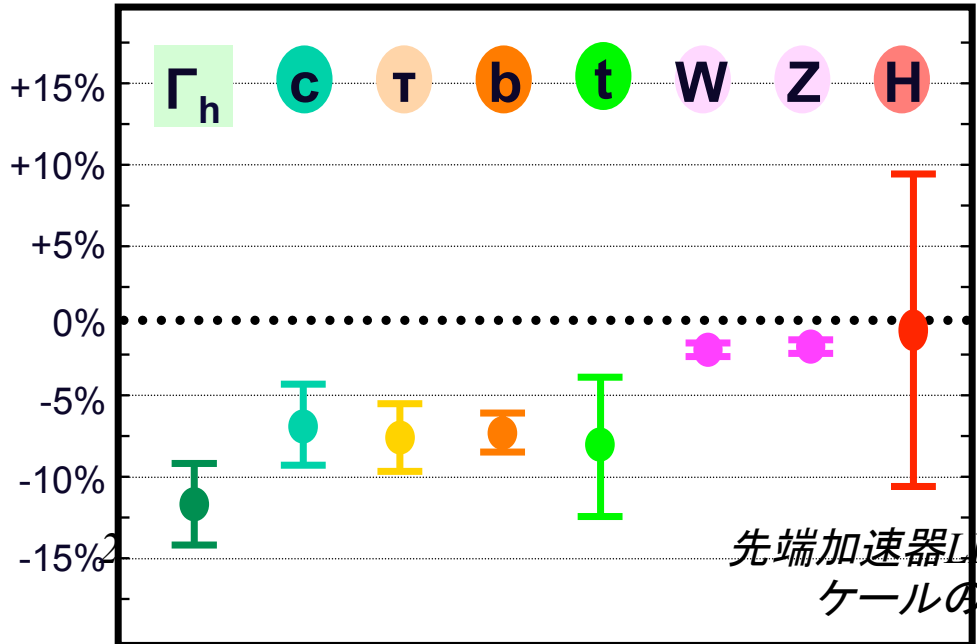
MSSM / Type II 2HDM

Higgs Coupling Deviation



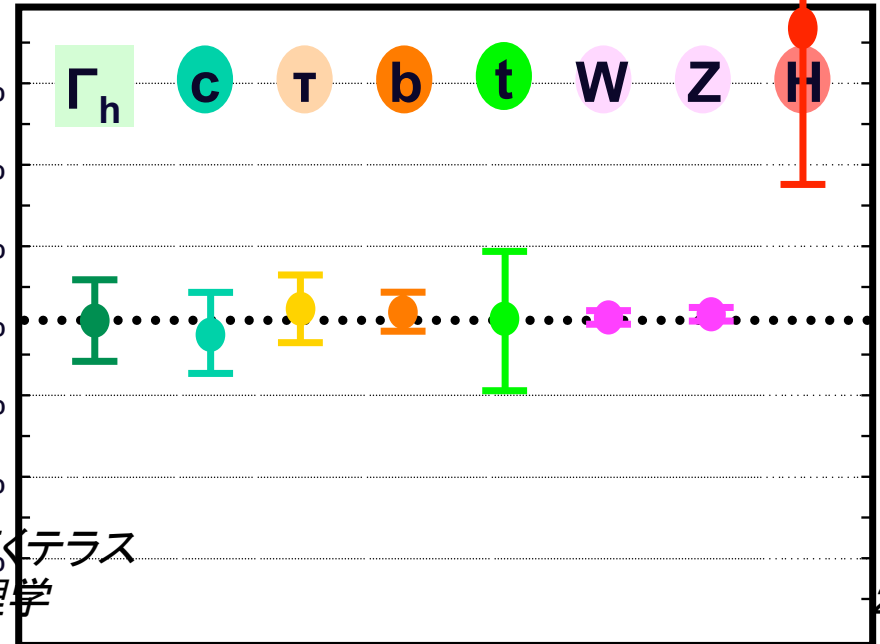
Composite Higgs

Higgs Coupling Deviation



Electroweak Baryogenesis

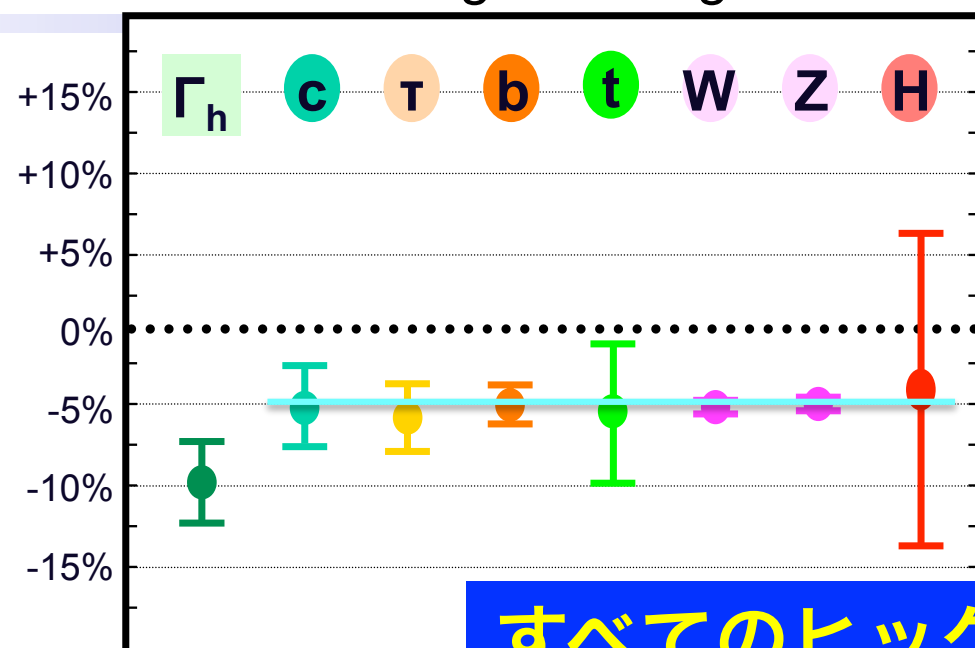
Higgs Coupling Deviation



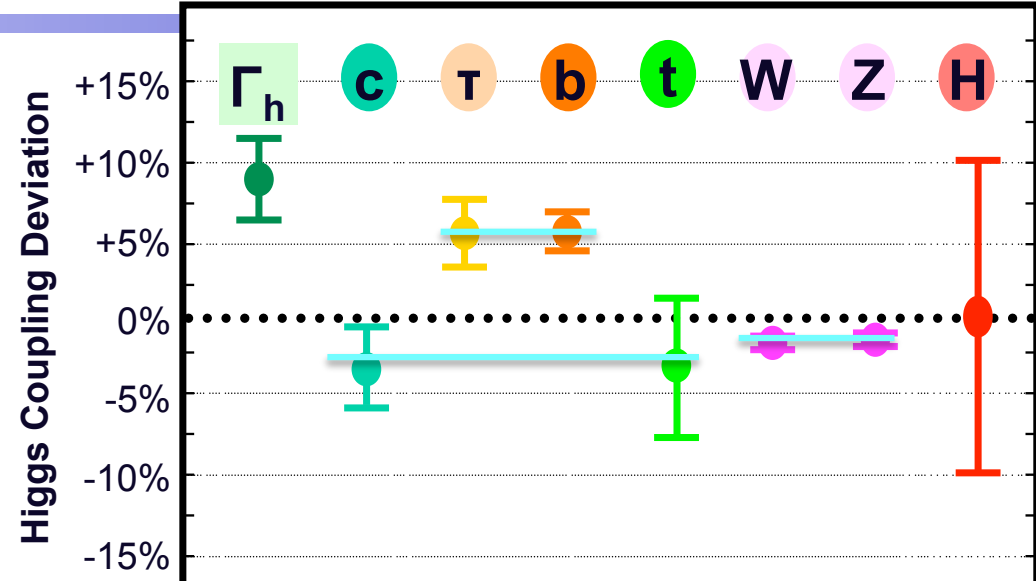
様々な物理の可能性

Singlet Mixing

Higgs Coupling Deviation

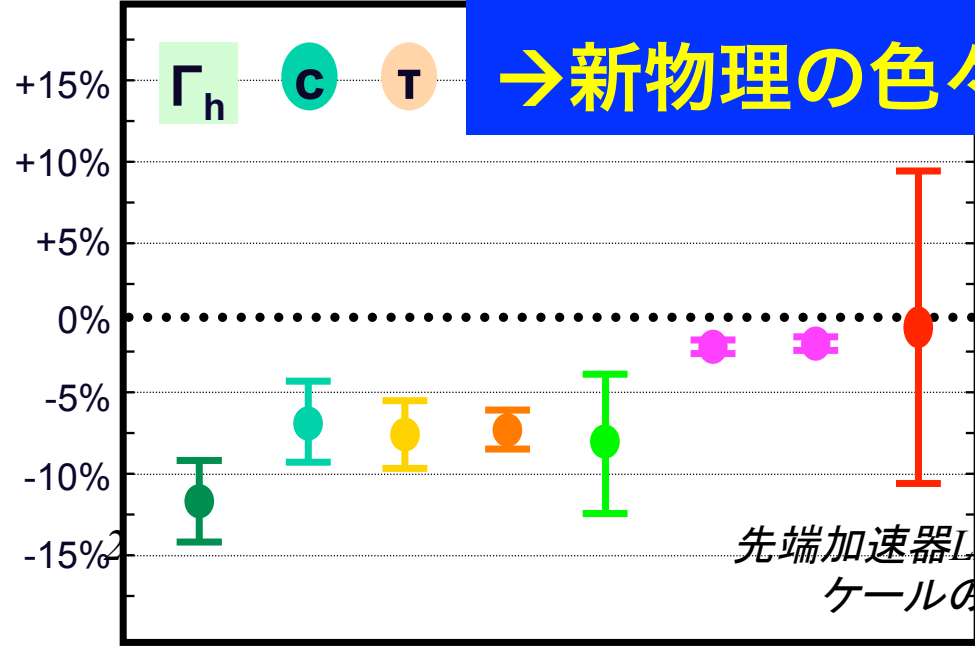


MSSM / Type II 2HDM



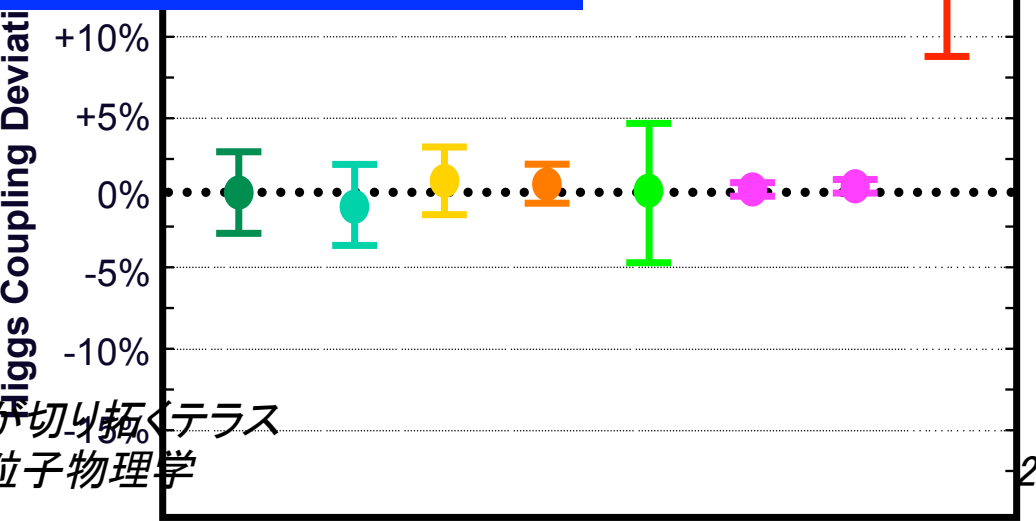
Comparisons

Higgs Coupling Deviation

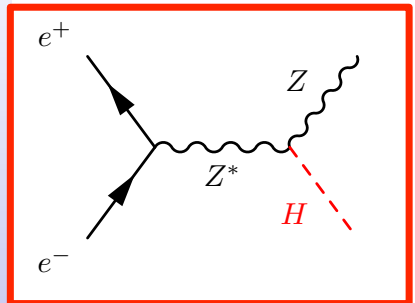


先端加速器LHCが切り拓くテラス
ケールの素粒子物理学

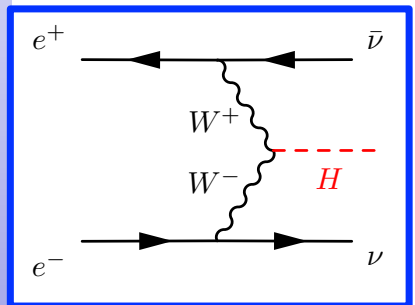
→新物理の色々なパターンを識別



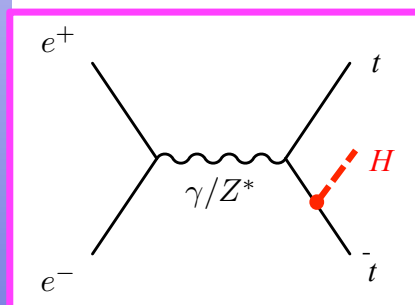
LHC/ILC Synergy



**250 GeV~
Higgs BR via
Higgs-strahlung**

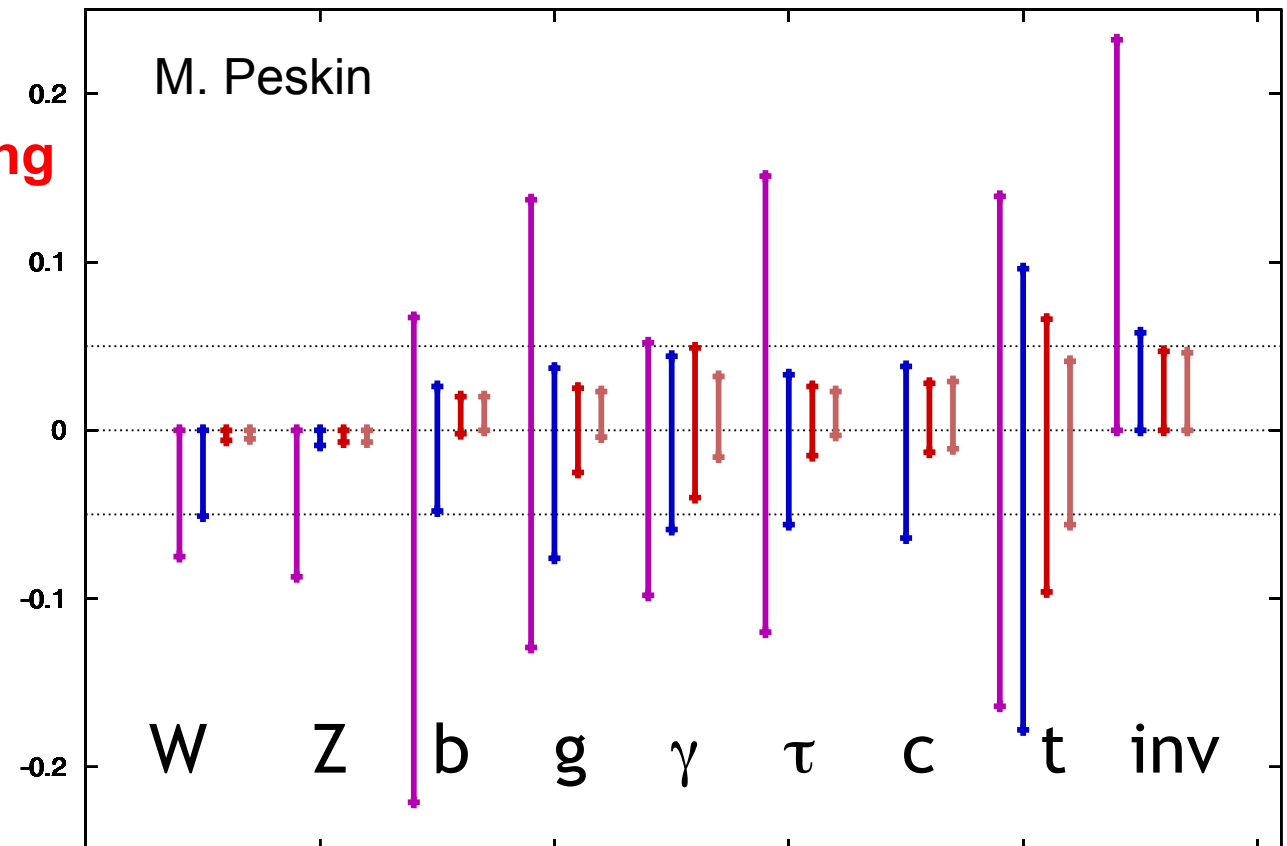


**350 GeV~
Higgs BR via
WW fusion**



**500 GeV~
Top Yukawa
Coupling**

$$g(hAA)/g(hAA)|_{SM}-1 \quad \text{LHC/HLC/ILC/ILCTeV}$$



- LHCとILCのシナジー(global fit)で
さらに精度を上げられる

Assumed Luminosities

LHC = LHC14TeV: 300fb^{-1}

HLC = ILC250: 250fb^{-1}

ILC = ILC500: 500fb^{-1}

ILCTeV = ILC1000: 1000fb^{-1}

2013/May/25

先端加速器LHCが切り拓
ケールの素粒子物理

Maximum deviation when nothing but the 125 GeV
object would be found at LHC

Summary

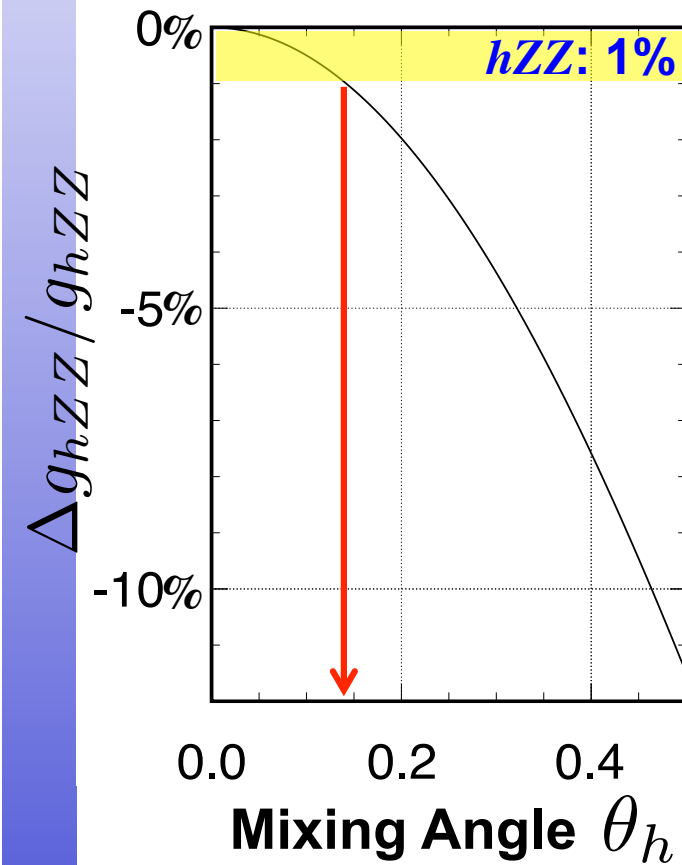
- ILC加速器は2012年12月に技術設計書完成。
2013年以降の建設Ready。
- ILC測定器も2012年12月に詳細設計完了。
ILC測定器でヒッグスの精密測定。
- ILCでヒッグスの全容解明。LHCとのシナジー
でさらなる精度向上。

Backup

ILCヒッグス測定で迫る新物理

Higgs-Singlet Mixing e.g. $U(1)_{B-L}$, Radion, Dilaton

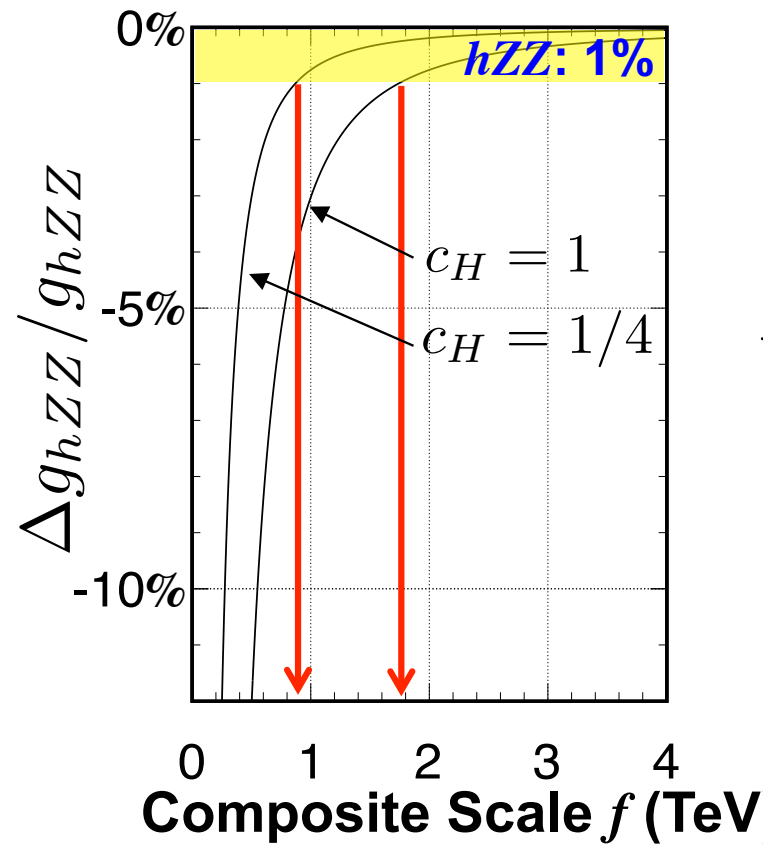
$$\frac{\Delta g_{hVV}}{g_{h_{\text{SM}}VV}} \approx -\sin^2 \theta_h / 2$$



$\theta_h < 0.15 \text{ rad}$

Composite Higgs e.g. Little Higgs, Holographic Higgs

$$\frac{\Delta g_{hVV}}{g_{h_{\text{SM}}VV}} \approx -c_H \xi / 2, \quad \xi = v^2/f^2$$

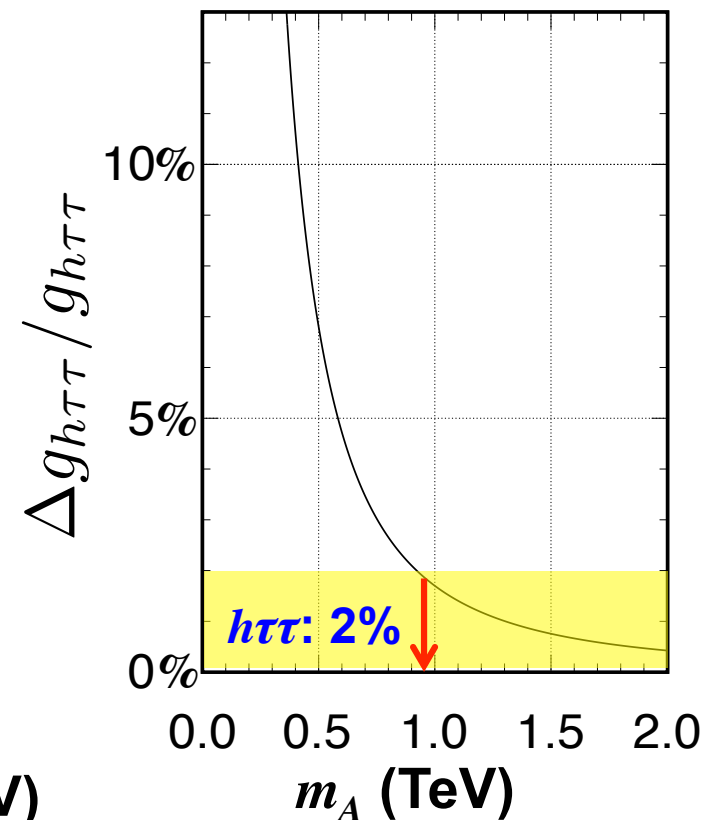


$f > 1-2 \text{ TeV}$

MSSM

$\tan \beta = 5$, radiative corr.~ ~ 1

$$\frac{\Delta g_{hbb}}{g_{h_{\text{SM}}bb}} = \frac{\Delta g_{h\tau\tau}}{g_{h_{\text{SM}}\tau\tau}} \simeq 1.7\% \left(\frac{1 \text{ TeV}}{m_A} \right)^2$$



$m_A > 1 \text{ TeV}$
($\tan \beta = 5$)